

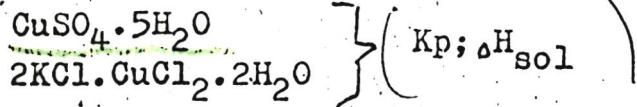
Cu_xSO_y

V 2134

1871

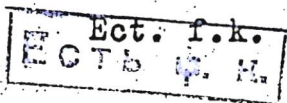
Favre P.A., and Valson C.A.

l. Compt. rend. 73, 1144-52 (1871)



Circ. 500

W.



V 2123

1887

Pickering

J. Chem., Soc, 1887, 51, 290

CuSO₄; CuSO₄•nH₂O (ΔH_f)

W.

F

Her zage
b d-ke

V 2109

MgCl₂, CuSO₄; aq; ΔH

Arrhenius

2. Z. physik. Chem. 4, 96 (1889)

Circ. 500

W.

F

V 2141

1890

Lescoeur

4. Ann. chim. phys. 21, 511 (1890)

CuSO₄·H₂O; CuSO₄·3H₂O; CuSO₄·5H₂O; CoCl₂·6H₂O;
MnSO₄·7H₂O, MgCl₂·6H₂O; MgSO₄·H₂O; MgSO₄·7H₂O;
Ca(NO₃)₂·nH₂O; Kp (P_{Atss})

Circ. 500

W.

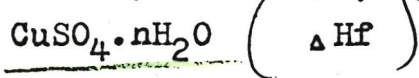
F

V 2150

1892

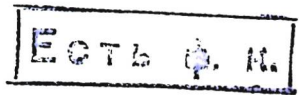
Scholz

Ann. Physics. 1892, 45, 193



w.

Est.f.k.

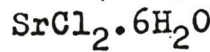
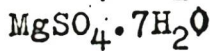
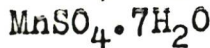
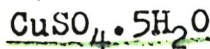


V 2142

1894

Linebarger

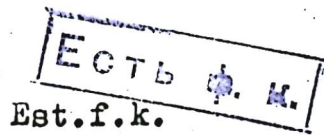
l. Z. physik. Chem. 13, 500, 8 (1894)



} (kp; P diss)

Circ. 500

W.

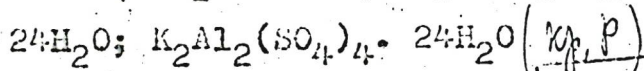
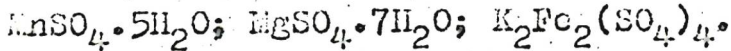
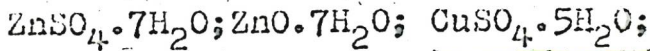


1901

V 933 -

Höllmann R.

2. Z. physik. Chem. 37, 193-213 (1901)



E	C	T	L	V
---	---	---	---	---

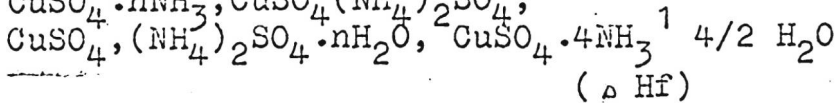
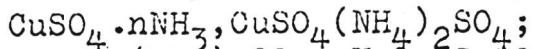
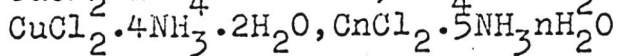
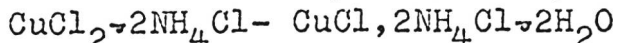
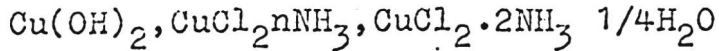
Circ. 500

W, M

F

1903

A-496



Bouzat

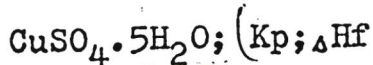
Ann. Chim. phys., 1903, 29, 305.

W,

Est/orig.

V 2130

1907

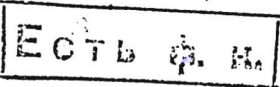


Cohen E. Chattaway F.D., and Tombrock
I. Z. physik. Chem. 60, 706-27 (1907)

Circ. 500

W.

Est.f.k.



V 2151

1908

Schottky H.

Z. phys. Chem., 1908, 64, 415-18

CuSO₄; CuSO₄·nH₂O (ΔH_f)

w.

Est.f.k.

EOTB. φ. K.

V 2112

1909

Donnan F. Gnope G.D.

Trans. Faraday, Soc., 1909, 5, 244

CuSO₄; CuSO₄·nH₂O Δ Hf

W.

Est.f.k.

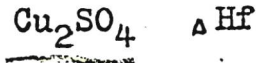
ECTb Q. H.

V 2118

1909

Recoura

4. Compt. rend. 148, 1105 (1909)



Circ. 500

W.

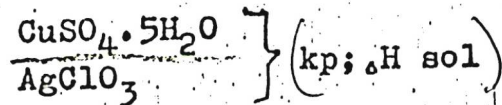
F

V 2125

1911

Bedeau

l. Ann. chim. Phys. 24, 553 (1911)



Circ. 500

W.,

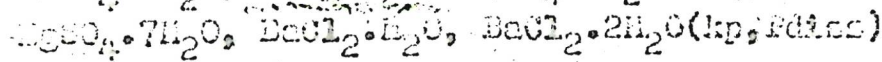
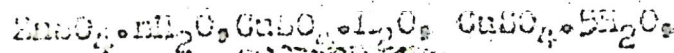
F.

V 330

[94]

Boote and Schloesser

J. P. Am. Chem. Soc. 33, 1309 (1911)



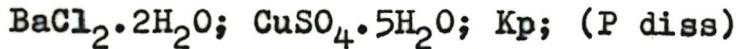
Circ. 500

Wg L

F

V 2147

1911



Partington

l. J. Chem. Soc. 99, 466 (1911)

Circ. 500

W.

F

V 2153

1913

CuSO₄, H₂O, Kp, 4 H sol.

Siggel A.

l. Z. Elektrochem. 19, 340-44 (1913)

Circ. 500

W.

Est. f. k.

E C T b o. K.

[14 [EW A]]

V1614

1914

Ewald R.

9. Ann. physik. 44, 1213-(1914.)

-37

NH₄Cl, Kp.III, (1111r)

(P, HgI₂, AgI, CuSO₄, KBr), Kp. (Cp)

Circ. 500

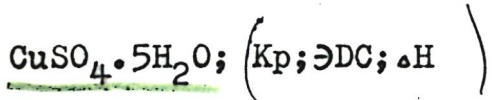
16



Еоп. ф. н.

V 2146

1919



Ohlom

1. Medd. Vetenskapsakad. Nobelinst. 5,
N. 4 (1919)

Circ. 500

W.

F

V 2145

1920

CuSO₄ · 5H₂O; (K_p, ΘDC, ΔH)

Obata

1. Proc. Phys. Math. Soc. Japan 2, 223
(1920)

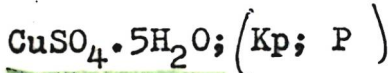
Circ. 500

W.

F

V 2144

(92)



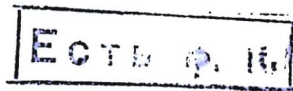
Noyes A.A. and Westbrook L.R.

1. J.Am. Chem. Soc. 43, 726-34 (1921)

Circ. 500

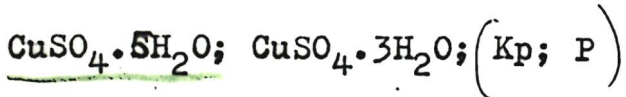
W.

Est.f.k.



V 2155

1921



Wilson R.F.

2. J.Am. Chem. Soc. 43, 704-25 (1921)

Circ. 500

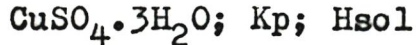
W.

Est.f.k.

Есть ф.к.

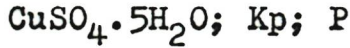
V 2148

1923



Partington J.R. and Huntingford D.B.

J. Chem. Soc. 123, 160-70 (1923)



Circ. 500

Est.f.k.

W.

EOTB  K.

Est.F.k.

V 1955

1927

Nielson and Brown

J. Am. Chem. Soc., 49, 2423 (1927)

(Cu₂O, CuSO₄·5H₂O), Kp (ΔHf)

Circ. 500

M.W.

F

1929

BGP 3394-X , V-2115

CeSO₄ aq, ΔH

Perrea F.

Compt. rend. 189, 285-7 (1929)

V 934

1930

Cu_2O_4 , Zn_2O_4 , Cd_2O_4 (ΔH° , ΔF° , S)

Ishikawa F., Murooka H.

Jull. Inst. Phys. Chem. Research (Tokyo)
2, 781-94 (Abstracts 31) published
with Sci. Papers Inst. Phys. Chem.
Research (Tokyo) 14, 271-3 (1930)

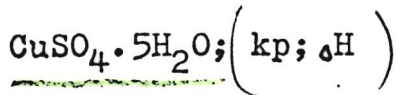
11

F

CA, 1931, 861

V 2128

1931



Burian

I.Z. Elektrochem. 37, 238 (1931)

Circ. 500

W.

F

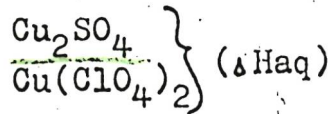
V 1896

1931

Heinerth E.

1. Z. Elektrochem. 37, 61 (1931)

(Cu⁺; Cu⁺⁺) aq, δFf



Circ. 500

W., Ja.

EQTb. 4. N.

Est. fotok.

$\text{CuSO}_4(\text{K})$ (Oct. 19864) 1931

$\text{CuSO}_4 \cdot \text{H}_2\text{O}(\text{K})$ Randall et al., Nielsen

$\text{CuSO}_4 \cdot 5\text{H}_2\text{O}(\text{K})$ R.F., et al,

$\text{CuSO}_4 \cdot 3\text{H}_2\text{O}(\text{K})$ Ind. Eng. Chem., 1931,

$\Delta_f H^\circ, \Delta_f G^\circ$,

$K_p, C_p;$

23, N.Y., 388-400.

V 2143

1932

P($\text{CuSO}_4 \cdot 5\text{H}_2\text{O}$; $\text{CuSO}_4 \cdot 3\text{H}_2\text{O}$; $\text{CuSO}_4 \cdot \text{H}_2\text{O}$)

Logan T.S.

J. Phys. Chem. 1932, 36, 1035-44

The dissociation pressures of hydrated cupric sulfate at 35°.

CA, 1932, 2640

W.

F

V 5814

1932

CuSO₄, ZnSO₄, CdSO₄, NiSO₄, NiCl₂,
MnSO₄, CaCl₂, Ca(NO₃)₂, MgSO₄, Ca(CH₃COO)₂,
Pb(NO₃)₂, K₂SO₄, K₂C₂O₄, Na₂SO₄, Na₂S₂O₃
(ΔH_f°)

Plakette E.

Z. physik. Chem., 1932, A 162, 257

B

EOTB 43. K.

V 2129

1933

CuSO₄ · H₂O; (k_p; D)

^{A.N.}
Campbell, Campbell A. J. R.

Trans. Faraday Soc., 1933, 29, 1240-1247.

W.



V905 1933

Ishikawa and Murooka

1. Science Repts. Tohoku Imp. Univ. 1 22,
139 (1933)

ZnSO₄; ZnSO₄·nH₂O } bKf; Eff
CdSO₄; CdSO₄·nH₂O }
CuSO₄; CuSO₄·nH₂O

Circ. 500



M

1 2 3 4 5

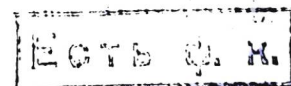
1933

V. 911

Lange, Konheim, Robinson

J. Am. Chem. Soc., 1933, 55, 4733

ZnO₂, CdO₂, CuO₂ eq, A.M.



18

1934

V 2116

Quintin M.

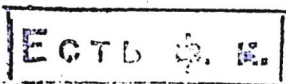
2. Compt. rend. 198, 1856-8 (1934)

CuSO₄ aq (Hf)

Circ. 500

W.

Est.f.k.



CuSO₄

BP-917-VI 1934

(Tuccos)

Wöhler L, et al.

Ber., 1934, B 67

1679-83

1934

V 917

Т. смес. $(\text{Ce}(\text{SO}_4)_2 \cdot \text{CuSO}_4 \cdot (\text{BaO}_4)_3 \cdot \text{K}_2(\text{SO}_4)_3 \cdot$
 $\text{Al}_2(\text{SO}_4)_2 \cdot \text{CaSO}_4 \cdot \text{ZnSO}_4 \cdot \text{MgSO}_4 \cdot \text{SrSO}_4 \cdot$
 $\text{BaSO}_4 \cdot \text{K}_2(\text{SO}_4)_3 \cdot \text{Na}_2(\text{SO}_4)_3 \cdot \text{La}_2(\text{SO}_4)_3 \cdot$
 $\text{Ti}(\text{SO}_4)_2 \cdot \text{Cr}_2(\text{SO}_4)_3)$

Wöhler A., Flick K.

Ber. 1934, 67B, 1670-83

separation of metallic sulfates by
selective dissociation

Ber. 1935, 654

Есть ф. н.

A-500

1936

CuSO₄ · H₂O; CuSO₄ · 3H₂O; CuSO₄ · 5H₂O;
CaCl₂ · 2H₂O; CaCl₂ · 4H₂O; CaCl₂ · 6H₂O; BaCl₂ · H₂O;
BaCl₂ · 2H₂O; BaBr₂ · H₂O; SrBr₂ · H₂O; SrBr₂ · 6H₂O;
SrCl₂ · 2H₂O; SrCl₂ · 6H₂O (P; ΔH_f)

Collins E. M., Menzies A. W.C.

J. Phys. Chem., 1936, 40, 379 - 397.

CA, 1936, 4371⁶

B

EOTL Q. H.

—
II-3698

V 810 1936

2000

CuSO₄; ZnSO₄; ZnCl₂; PbSO₄ (Gp)

—

A.H.

225. Краснодарск, Станица 2.и.

Ж. ОНТ. ХИМИИ, 1936, 6, 63,

1481-87

Бс

V 2159

[436]

CuSO₄·5D₂O (Ep)

Partington J.R., Stratton K.

Nature 1936, 137, 1075-6

Heavy water of crystallization.

CA, 1936, 5860⁸

W.

Est. f. k.

E C T B b. H.

1936

V 2149

Sano K.

21. Science Repts. Tonoku Imp. Univ. 1 24,
719-23 (1936)

CuSO₄·nH₂O ΔHf

Circ. 500

W.

Est.f.k.

ЕСТЬ Ф. К.

V 2160

(936)

CuSO₄ · 5D₂O (Kp)

Schacherl F., Behounek O.

Nature 1936, 138, 406

Dissociation pressure of copper sulfate
pentadeuteriate.

CA, 1936, 7976⁵

E C T L P. M.

W.

Est.f.k.

V. 2154

1936

CuSO₄·5H₂O (T_{tr})

Taylor T.I., Klag H.P.

J.Chem. Physics 1936, 4, 601-7

Thermal transitions in copper sulfate pentahydrate molecular rotation and the dehydration of hydrates.

CA, 1936, 7007²

ECTS P. H.

Be.

Est.f.k.

V 2126

(937)

Bell J.

J. Chem. Soc., 1937, 459-61

Salt hydrates and deuterates. Dissociation pressures of certain deuterates.

CuSO₄·5H₂O; CoCl₂·6D₂O; NiCl₂·6D₂O; MgSO₄·7D₂O;SrCl₂·6H₂O; SrCl₂·6D₂O; NaBr·2D₂O; NaBr·2H₂O;Na₂SO₄·10D₂O (P; a Hgwe, ΔH₂O) a Hgwe D₂O

W.

CA, 1937, 4568⁴

F

V 2110

1937

Birnthalter W. and Lange E.

1. Z. Elektrochem. 43, 643 (1937)

CuSO₄; BeSO₄; Ba(NO₃)₂; KF; KBr; NaCl
(Δ Haq) Δ H_{sol} D₂O)

Circ. 500

W.

F

$\text{CuCl}_2 \cdot 5\text{H}_2\text{O}$

VGB

1937

$\text{CuSO}_4 \cdot 5\text{H}_2\text{O}$ (ΔH_{aq})

Fedorov A.S., Sil'chenko G.F.

Ukrain.Khem.Zhur. 1937, 12,
53-60

"Heats of formation and of
solution of saturated aqueous
solutions of some salts".

C.A., 1937, 48842

B.M.

1937

CuSO₄ (in H₂O; a sol in D₂O) V 2773 /

CuSO₄ · 5H₂O; CuSO₄ · 3H₂O; CuSO₄ · H₂O (a H₂O)
 CuSO₄ · 5D₂O; CuSO₄ · 3D₂O; CuSO₄ · D₂O

Zange E., Sattler H.,

Z. phys. Chem., 1937, A 179, 427-44⁴

B

(P)

C. Q. 1937.8344

E. O. T. N. E. R. G. A. B. R. P. A.

v 1905

1937

Wetmore and Gordon

1. J.Chem. Phys. 5, 60 (1937)

Cu⁺⁺, aq. ΔFf

CuSO₄, aq. (ΔHf, ΔFf)

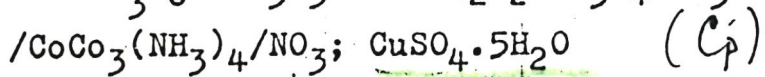
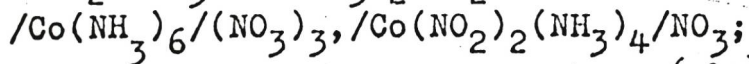
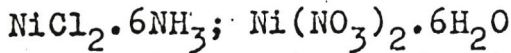
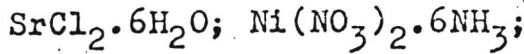
Circ. 500

W., Ja.

F

V 2140

1938



Jensen A.T., Beevers C.A.

Trans. Faraday Soc. 1938, 34, 1478 - 1482.
CA., 1939, 2404⁶

Be.

F

V 2156

1938

CuSO₄ · 5H₂O (A. H. gerugbataus)

BaCl₂ · nH₂O (Hf)

Ходяков N.2.

Ж. физ. химии, 1938, 11, 805-17

The formation of labile phases during the
dehydration of crystallohydrates.

CA, 1939, 6132

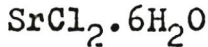
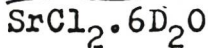
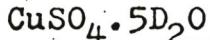
W.

Est. f. k.

ЕСТЬ Ф. К.

Bop V 2158

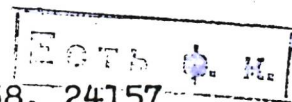
1938



Miles F.T., Menzies A.W.C.

J. Am. Chem. Soc. 1938, 60, 87-90

Dissociation pressures of deuteriates of
cupric sulfate and spoutium chloride.



CA, 1938, 24157

W.

F

V 2124

1939

Cp ($\text{CuSO}_4 \cdot 5\text{H}_2\text{O}$; $\text{CuSO}_4 \cdot \text{K}_2\text{SO}_4 \cdot 6\text{H}_2\text{O}$)

Ashmead J.

Nature 1939, 143, 853-4

Specific heat of copper sulfate below 1°K

CA, 1939, 5734

7 F.C.T.
Est. f, k.
H,

Be.

V 2161

1439

Kp (CuSO₄ · 5D₂O; CuSO₄ · 3D₂O)

Schacherl F., Behounek O.

Collection Czechoslov. Chem. Commun, 1939,
11, 57-69 (in English)

Dissociation pressure of copper sulfate

CA, 1939, 4501²

W.

F

~~1941~~ ✓ 3575
Hgq (CaSO_4 ; MgSO_4 ; CdSO_4 ; ZnSO_4 ; CuSO_4) (941)

Robinson A.L., Wallace W.B.
J. Am. Chem. Soc., 1941, 63, 1582-4

The heat contents of bivalent sulfates in
extremely dilute aqueous solutions.

CA., 1941, 5025^B

Ja., W.

ECON. PH. K.

P

V 2119

1941

CuSO₄ (Cp)

Stout J.W.

J.Chem. Phys. 1941, 9, 285

Thermal anomaly in anhydrous copper sulfate.

CA., 1941, 3156'

Be.

Est.f.k.

E C T B. K.

v 1901

1942

Müller F. and Reuther H.

3. Z. Elektrochem. 48, 682 (1942)

Cu⁺⁺ aq_ΔFf

CuSO₄, aq (_ΔHf, _ΔFf)

W., Ja.

Circ. 500.

Est. fotok.

ELECTROCHEM.

V 2127

1943

CuSO₄ · 5H₂O (Ttr)

Brun E., Jaffray J.

Compt. rend. 1943, 217, 371-2

The transition points of CuSO₄ · 5H₂O

CA, 1944, 6166⁸

Be.

Est. f. k.
ECTb ♦ K.

CuSO₄ | 5H₂O. BP-3820-IX 1943

Jensen A.T.; Lønninge t.

Tm; kp. cip. Rgl. Danske Videnskab

Selskab mat-phys. fys.

Medd., 1943, 22, N 15
1-33.

V 2132

1945

(Cp)Fe; Co, CuSO₄ · 5H₂O, (NH₄)Fe(SO₄)₂ · 12H₂O /

Duyckaerts G.

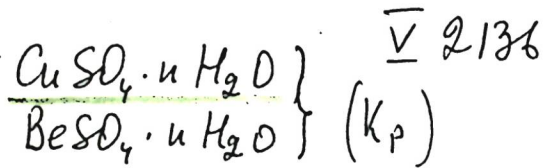
Mem. soc. roy sci. Liege 1945, 6, 193-329

Specific-heat measurements of metals and salts
at very low temperature in relation to electro-
nic study of crystalline bodies.

CA, 1948, 8060k

Be.

F



1945

Ghosh B.

J. Indian Chem. Soc., 1945, 22, 17-18.

CA, 1945, 4537⁷

B

V 2138

1947

CuSO₄ · 5H₂O (T_{tr})

Jaffray J.

J. recherches centr. natl.

recherche sci. (Paris) 1947, 153-63

The investigation of higherorder transformation by thermal analysis

CA, 1948, 5326h

Be.

F

V 2139

1948

Jaffray J.

C.r.Acad. sci., 1948, 226, 397-8

CuSO₄•5H₂O

T_{tr}

Be.

Est.f.k.

E C T D φ. K.

V 2114

1950

CuSO₄ (K)

Michaelis L.

J. Phys. and Colloid chem. 1950, 54, 1-17

Reversible polymerization and molecular aggregation.

CA, 1950, 44, 3772a

Ja.

Ectb. ih. K.

Est.f.k.

903

[451]

CuSO₄·5H₂O, ZnSO₄·6H₂O, CuSO₄·3H₂O,

ZnSO₄·H₂O (A Haq)

Frost G.B., Moon K.A., Tompkins E.H.
Can. J. Chem., 1951, 29 ~~100xx32~~ 604-32

The role of amorphous intermediate
products in the dehydration of certain
hydrated salts

E.C.T.b Q. 10

W, Ja

J

CA., 1951, 8868f

V 1898

1951

Cu⁺aq (S°)

H°f /Cu₂SO₄'(aq); Cu(ClO₄)₂ (aq)/

Wagman D. D.

J. Am. Chem. Soc. 1951, 73, 5463

The heat of formation and entropy of aqueous
cuprous ion.

CA, 1952, 9405h

Ja. W.

F

V 2135

1952

CuSO₄.5H₂O (Cp, S)

Geballe T.H., Giauque W.F.

J. Am. Chem. Soc., 1952, 74, 3513-19

The heat capacity and magnetic properties of
single-crystal copper sulfate pentahydrate
from 0,25 to 4°K .

E.C.T.S.

CA, 1952, 10843C

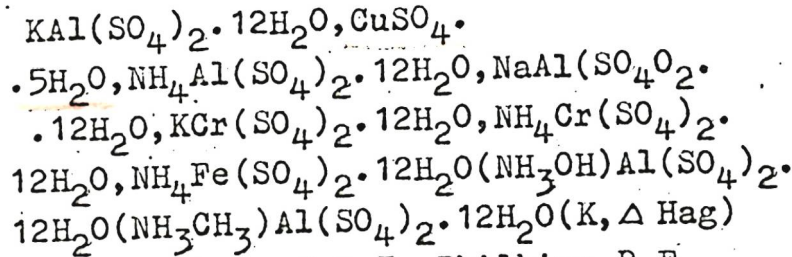
Est. P.k.

Be.

1952

5,6,7,8,10w

V-2136



Hepburn J.R.I., Philkips R.F.

J.Chem.Soc., 1952, 2569-78. Alume. I. A Study of
 the slums by measurement of their aqueaus li-
 ssociation pressures. Est/F.

Be, J,

CA., 1953, 2019c

V 2120

(953)

$\text{CoCl}_2(\text{aq})$, $\text{NiCl}_2(\text{aq})$, $\text{CuSO}_4(\text{aq})$, $\text{BeSO}_4(\text{aq})$,
 $\text{AgNO}_3(\text{aq})$ (Cp)

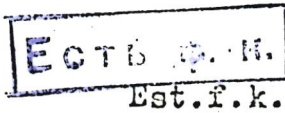
Капустинский А.Ф., Якушевский Б.М., Дракин С.И.

Ж.Физ.химии, 1953, 27, № 4, 588-595

Адиабатический калориметр для изменения теплоемкостей растворов. Исследование солей

Co^{2+} ; Ni^{2+} ; Cu^{2+} ; Be^{2+} ; Ag^+

РХ, 1954, N 5, 17799
W.



ВФ №-516

У 2325

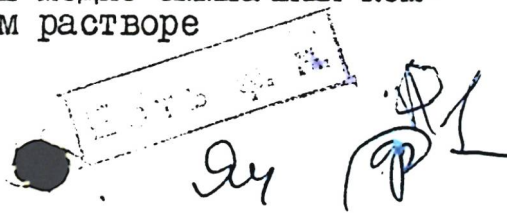
H_{mix} / CuSO_4 , NH_3 , NaOH , $\text{Cu}(\text{NH}_3)_4^{2+}$,
 $\text{Cu}(\text{NH}_3)_5^{2+}$ / 1953

Яцимирский К.Б., Графова З.М.

Ж. общ. химии, 1953, 23, № 5, 717-720.

К термохимии медно-аммиачных комплексов в водном растворе

РХ., 1955, № 19, 42560



Азарчева Р.А.

1955

Cu₃O₄

Co₃O₄

Равновесные реакции
взаимодействия

Cu₃O₄ + Co₃O₄ c Fe₃

Равновесия

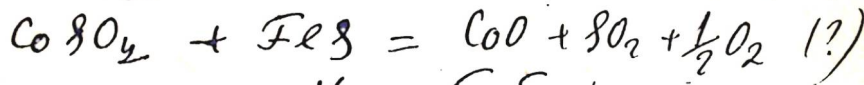
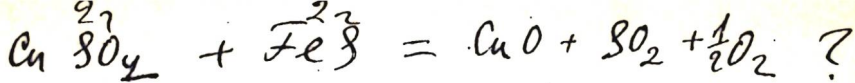
Макрометрическими

методами

Сб. трудов ИИУМН

Tan 25





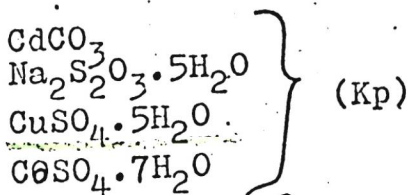
$t^{\circ}\text{C}$ P_{SO_2} Нет обработки

400 60 ми результат неизвестен

500 940 ми

V 1364

1956



Дефр. I. 2., Рассонская И. С., Бург G. B.

Узб. Сертмара физ.-хим. анализа ИОНХ

АН СССР, 1956, 27, 239-50.

Гиеромографический метод определения
диссоциации некоторых солей.

PJX., 1957, 29919

M.

Est. fotok.

1957

V 2111

CuSO₄ (Kp)

Davies W.G., Otter R.J., Prue J.E.

Disc. Faraday Soc., 1957, N 27, 103-07

Discuss., 114-32.

The dissociation constant of copper sulphate
in aqueous solution.

PJX, 1959, 26572

Ja.

F

1958

V 907

CuSO₄, ZnSO₄, NiSO₄, MgSO₄ (Kp)

Ken Hämaa J.

Acta chem. scand., 1953, 12, II 6,
1323-1329

A cryoscopic study of ionic association
in bivalent metal sulphates using
saturated aqueous solutions

PX., 1959, 34322

J2

F

E018 G. M.

CuSO₄ (T_{cr})

У 2121

1958.

Крейнис Н.М.

Ж.эксперим. и теорет. физ., 1958, 35, № 6,
1391-97

Магнитная анизотропия монокристалла CuSO₄
в антиферромагнитном состоянии.

РЖХ, 1959, 44964

Б.

Есть ф.к.

Есть ф.к..

V 2152

1958

$\text{CuSO}_4 \cdot 5\text{H}_2\text{O}$ (Kp) $\text{CuSO}_4 \cdot \text{H}_2\text{O}$ (Kp)
 $\text{CuSO}_4 \cdot 3\text{H}_2\text{O}$ (Kp)

Segal E.

An. Univ. C.I. Parhon. ser. stiint. natur., 1958

N 18, 69-78

Asupra tensiunii de vapori a cristalohidratilor
sulfatului de cupru.

PJX., 1959, 14529

W.

ЕСТЬ Ф.Н.

Est.f.k.

1958

Cu₈₀Y

J. W. Stoeet.

Cusby

S.K.F., 1958, Vol B, Chap II

Op. 150-300°K.

1958

A-479

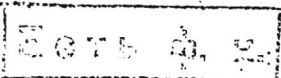
MnJ_2 , FeJ_2 , CoJ_2 , NiJ_2 , CuJ_2 ,
 ZnJ_2 , MnO , FeO , CoO , NiO , CuO , ZnO , MnCO_3 , CoCO_3 ,
 NiCO_3 , CuCO_3 , ZnCO_3 , MnSO_4 , FeSO_4 , CoSO_4 , NiSO_4 ,
 CuSO_4 , ZnSO_4 , MnS , FeS , CoS , NiS , CuS , ZnS , MnSe ,
 FeSe , CoSe , NiSe , CuSe , ZnSe). Est/F.

Джемирекий К.Б.

Ж. геол. хим., 1958, 3, №10, 2244-2252

RX., 1959, 26376

M,



1959

V 902

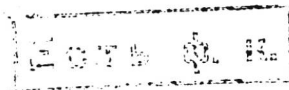
MgSO_4 , NiSO_4 , CuSO_4 , ZnSO_4 (Kp)

Franzosini P., Sinistri G.

Ann. chimica, 1959, 49, N 5-6, 970-984

Misure crioscopiche in AgNO_3 fuso.

Nota II



PK., 1960, 16905

Ja F

4-2122

1960

CuSO₄

15Б329. Удельные теплоемкости водных растворов медного купороса. Подгорная Е. А. «Тр. Ленинград. технол. ин-та им. Ленсовета», 1960, вып. 61, 43—46.— Измерены уд. теплоемкости c_p водн. р-ров CuSO₄ при 18, 25, 50 и 75°. Значения c_p р-ров CuSO₄ для 25 сопоставлены с литературными опытными данными (РЖХим, 1954, № 5, 17799). Рассчитаны кажущиеся Φ_{cp}^0 и парц. молальные теплоемкости $\bar{c}_{p_2}^0$ CuSO₄ в системе CuSO₄ — H₂O. Получено полное совпадение $\Phi_{cp}^0 = \bar{c}_{p_2}^0 = -66$ кал/моль град при 25° с соответствующим значением, полученным ранее (РЖХим, 1954, № 5, 7799).

Резюме автора

х. 1961.15

3407-VI

1961

ZnSO₄, CuSO₄, NiSO₄, CoSO₄, FeSO₄, MnSO₄ (Ttr)

Pistorius C.E.F.

Z.Kryssallogr. 1961, 116, N 3-6, 220-50

Polymorphism in anhydrous sulfates of Mn, Fe,
Co, Ni, Cu and Zn to 140000 bars and 750°C.

PX, 1963, 8б455

Be.

Есть оригинал

V 2117

1968

CuSO₄ ($\frac{4}{4}$ e)

Rama Rao B.

Acta crystallogr., 1961, 14, N 3, 321-22

Anote on the crystal structure of onhydrous copper sulphate.

PJX, 1961, 15B167

Ml., J.

B99-3497-V

1962

CuSO₄

Reaction of cupric and sulfate ions with water in a solution and in a crystallohydrate. E. V. Kiseleva. *Tr. Mosk. Khim.-Tekhnol. Inst.* No. 38, 85-7(1962). The spectrographic results obtained in CuSO₄ solns. at 20° at 0.1-1.34M and wavelengths of 4200-6600A. In CuSO₄ solns. at 0.8-1.34M at 20°, Cu²⁺ is bound with SO₄²⁻ to CuSO₄. The stability const. of this compd. is 0.61. Cu exists in these solns. in the form of hydrated ions and within associates. The solns. obey Beer's law within 5000-10,000 A., and the absorption spectra of the solns. and crystals CuSO₄.5H₂O are identical. Only 1/6 of the total amt. of Cu ions (hydrated) absorbs light (5000-6200 A.). In the presence of H₂O the Cu ion maintains in an ion pair the same hydrate shell as in the free state.

L. Holl

C.A. 1964. 60.9
9976 a

CuSO₄

1963

V-3526.

ZnO, ZnS, ZnSO₄,
CuO, CuS, CuSO₄ (Cp)

Ульяновск
у Ходаковского

Чижиков Д.М., Кирик А.С.,

Тр. Инст. Мех. им. А. А. Байкова, АН СССР,
1963, /12/, 79-84.

Определение теплоизических свойств
кислородных и серных соединений цинка и
меди.

(Cu. ZnO) I

Be,

F

СА, 1963, 59, N6, 5799h

1Б204. Термические и магнитные свойства $\text{CuSO}_4 \cdot 5\text{H}_2\text{O}$

1962

$\text{CuSO}_4 \cdot 5\text{H}_2\text{O}$ и $\text{CuSeO}_4 \cdot 5\text{H}_2\text{O}$ при температуре ниже 1°K . Miedema A. R., Kempen H. van, Haseda T., Huiskamp W. J. Thermal and magnetic properties of $\text{CuSO}_4 \cdot 5\text{H}_2\text{O}$ and $\text{CuSeO}_4 \cdot 5\text{H}_2\text{O}$ below 1°K . «Physica», 1962, 28, № 2, 119—130 (англ.)

Измерена уд. теплоемкость и магнитная восприимчивость моноокристаллов $\text{CuSO}_4 \cdot 5\text{H}_2\text{O}$ и $\text{CuSeO}_4 \cdot 5\text{H}_2\text{O}$ в интервале т-р $0,03—1^\circ\text{K}$. Уд. теплоемкость сульфата имеет минимум при $0,25^\circ\text{K}$, а не при $0,4^\circ\text{K}$, как счи-тали ранее (Geballe T. H., Giauque W. F. «J. Amer. Chem. Soc.», 1952, 74, 3513), и не обнаруживает макси-мума при $0,75^\circ\text{K}$ (см. ссылку выше). Магнитная вос-приимчивость сульфата при т-ре ниже 1°K подчиняет-ся закону Кюри — Вейсса с несколько анизотропной по-стоянной Вейсса $\theta' = 0,02^\circ\text{K}$ и с анизотропной по-стоянной Кюри, равной вдоль осей α , β и γ соответ-ственно $0,61 C$, $0,48 C$ и $0,55 C$, где $C = \beta^2 \mu^2 B S(S+1)/3K$. При т-ре выше 1°K соблюдается закон Кюри — Вейсса с $\theta = -0,60^\circ\text{K}$. Теплоемкость селената имеет минимум при $0,2^\circ\text{K}$ и широкий максимум при $0,8^\circ\text{K}$. Кроме того, обнаружен резкий максимум при $0,045^\circ\text{K}$. Магнитная

g $< 1^\circ\text{K}$

+1

X

Ф. 1963. 1.

See also

восприимчивость селената в интервале $0,1-0,8^\circ\text{K}$ следует закону Кюри—Вейсса со значениями параметров $C' = 0,53\text{ C}$ и $\theta' = 0,03^\circ\text{K}$. Ниже $0,1^\circ\text{K}$ восприимчивость не подчиняется этому закону и обнаруживает слабый максимум при $0,05^\circ\text{K}$. Отмечается тесная аналогия тепловых и магнитных свойств пентагидратов сульфата и сelenата меди. Они могут быть объяснены с учетом элементарной ячейки кристалла двух неэквивалентных ионов меди. У ионов одного типа магнитные взаимодействия имеют порядок величины, соответствующий 1°K , а у ионов второго типа они много меньше. По этой причине восприимчивость системы ионов первого типа становится независимой от температуры при температурах ниже и выше 1°K описывается различными постоянными закона Кюри—Вейсса). Магнитные взаимодействия для ионов второго типа имеют ферромагнитный характер и малую величину (порядка $0,01^\circ\text{K}$).

Т. Ребане

Cu₂O(SO₄)

*Крист.
структур*

7 Б352. Кристаллическая структура долерофанита Cu₂O(SO₄). Flügel-Kahle E. Die Kristallstruktur von Dolerophanit, Cu₂O(SO₄). «Acta crystallogr.», 1963, 16, № 10, 1009—1014 (нем.; рез. англ.)

Рентгенографически (методы Вейссенберга, λ Mo- K_{α} , и прецессии, λ Ag- K_{α}) определена структура долерофанита Cu₂O(SO₄). Параметры монокл. решетки были найдены ранее (РЖХим, 1961, 22Г47). Положение атомов в структуре определено с помощью обычных и взвешенных проекций Паттерсона и Фурье; уточнение до $R(hkl)=0,088$ осуществлено методом разностных синтезов при учете индивидуальных изотропных факторов B . Координаты атомов x, y, z : Cu₍₁₎ в 4(e) 0,250; 0,250; 0,000; Cu₍₂₎ в 4(i) 0,0724; 0,000; 0,2180; S в 4(i) 0,1019; 0,500; 0,3160; O₍₁₎ в 4(i) 0,2055; 0,500; 0,2235; O₍₂₎ в 4(i) 0,2930; 0,000; 0,4500; O₍₃₎ в 4(i) 0,1525; 0,000; 0,0210; O₍₄₎ в 8(j) 0,4940; 0,1892; 0,2450. Наиболее характерной особенностью структуры является наличие двух различных координаций для атомов меди. Cu₍₁₎ имеет к. ч. 6 и помещается в искаженном октаэдре; при этом 4 атома O расположены в одной плоскости по углам прямо-

X-1964. 4

Сл. крд.

угольника и отстоят от центрального атома на 1,87—2,07 \AA , а два остальных атома О расположены над и под этой плоскостью на расстоянии $\text{Cu}_{(1)}\text{—O}$ 2,52 \AA . $\text{Cu}_{(2)}$ имеет к. ч. 5 и помещается в тригон. дипирамиде; расстояние $\text{Cu}_{(2)}\text{—O}$ 1,87—2,14 \AA . По общему ребру дипирамиды связаны в пары; при этом расстояние $\text{Cu}_{(2)}\text{—Cu}_{(2)}$ 2,84 \AA . Вдоль оси *b* тянутся бесконечные цепочки из $\text{Cu}_{(1)}$ -октаэдров, связь между которыми осуществляется через пары $\text{Cu}_{(2)}$ -полиэдров и тетраэдры SO_4 . Последние характеризуются средним расстоянием S—O 1,48 \AA и углом O—S—O 109,8°. Отмечено, что атомы Cu в пятерной координации встречаются довольно редко и найдены ранее в структурах оливенита $\text{Cu}_2(\text{OH})\text{AsO}_4$ и либетинита $\text{Cu}_2(\text{OH})\text{PO}_4$.

А. Воронков

зую
може

1963

CuSO₄Kossmannnewspaper

VI-3210

Cryoscopic behavior of some salts of aluminum, copper, cadmium, and other metals in the eutectic ice-potassium nitrate.
Paolo Franzosini (Univ. Pavia, Italy). *Ann. Chim.* (Rome) 53(6), 840-7(1963). In the system ice-KNO₃, the cryoscopic behavior of the following salts was studied: Al(NO₃)₃, AlCl₃, AlI₃, Al₂(SO₄)₃, Cu(NO₃)₂, CuCl₂, CuBr₂, CuSO₄, Cd(NO₃)₂, CdCl₂, CdI₂, CdSO₄, Pb(NO₃)₂, AgNO₃, and HgCl₂. The ionization const. of CuSO₄ was calcd. (pK = 0.9). J. A. Aboaf

C.A.1963.59.10
10801a

3220-УІ

1963

ZnSO₄, CdSO₄, CuSO₄ (Re)

Ярославцев А.С., Шарыгин П.М., Смирнов В.И.

Докл. АН СССР, 1963, 153/2/, 408-II.

Термодинамический анализ реакций в автоплаве-
выщелачивания сульфидов

СА, 1964, 60, № 5, 4877 h

М.

оригінальна

A-335

1964

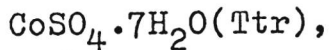
Al_2SO_4 , BeSO_4 , CdSO_4 , CaSO_4 , CuSO_4 ,
 FeSO_4 , PbSO_4 , MgSO_4 , MnSO_4 , NiSO_4 ,
 Ag_2SO_4 , Na_2SO_4 , $\text{Th}(\text{SO}_4)_2$, $\text{V}(\text{SO}_4)_2$,
 ZnSO_4 (soft)

Kellogg H.H.

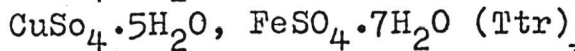
Trans. Metallurg. Soc. AIME,
1964, 230 NT, Part 34

M PX., 1965, 21383 Ecme open.

(964)



V-3455.



Kohler K., Zässke P.

Ecto. Ph. K.

Z. Anorg. Allgem. Chem., 1964, 331(1-2), 1-6.

The thermochémistry of hydrates.

III- The thermal decomp. of $\text{CoSO}_4 \cdot 7\text{H}_2\text{O}$,
 $\text{FeSO}_4 \cdot 7\text{H}_2\text{O}$, $\text{CuSO}_4 \cdot 5\text{H}_2\text{O}$ and isotropic relatons
of the decomposition products of the epsomite
and melanterite series.

Be, F

CA, 1964, 61, N11, 12939b

1964

V-3520

CuSO₄, CuO·CuSO₄ (p)

Умэдзу Й., Тодзава К.

Нихон когё кайси, J. Mining and Metallurgy
~~д/я 909~~ Just. Japan, 1964, 80, № 909, 306.

Упругость диссоциации сернокислой меди

RM, 1965, 1A29

M,

F

Om. 2428

1965

V-3436.

CdSO_4 , CoSO_4 , CuSO_4 , NiSO_4 ,
 ZnSO_4 (ΔH_f^{298})

Adami L.H., King E.G.,

U.S.Bur.Mines, Rept. Invest, No 6617(5)

1965, 10pp.

Heats of formation of anhydrous sulfates of
cadmium, cobalt, copper, nickel, and zinc.

M, $\Delta H_f^{\circ} = -183,4 \pm 0,6$ F CA, 1965, 63, N2, 1265e

Ciessy (K) DM 22682 / 1965

Alcock C.B., Sudo K, Zador S.,

Trans. metall. Soc.

Kp, NfF; AIME, 1965, 233, 655-661.

3151-VI

1965

VI ($\text{CuSO}_4 \cdot \text{SH}_2\text{O}$, $\text{CuSO}_4 \cdot \text{H}_2\text{O}$, CuSO_4 , $\text{CoCl}_6 \cdot 6\text{H}_2\text{O}$,
 $\text{CoCl}_2 \cdot \text{H}_2\text{O}$, CoCl_2 , $\text{Co}(\text{NO}_3)_2 \cdot 6\text{H}_2\text{O}$, $\text{Co}(\text{NO}_3)_2 \cdot 2\text{H}_2\text{O}$,
 $\text{Co}(\text{NO}_3)_2 \cdot 3\text{H}_2\text{O}$, $\text{Cu}(\text{NO}_3)_2$

Ferraro J.R., Walker A.

J. Chem. Phys., 1965, 42, N 4, 1278-85

Comparison of the infrared spectra (4000-
-70 cm^{-1}) of the several hydrated and anhyd-
rous salts of transition metals.

PJF., 1965, 12D245

J.

V 2137
9 [1965]

~~4190-111~~

5

NH_4NO_3 , KNO_3 , $\text{CuSO}_4 \cdot 5\text{H}_2\text{O}$, $\text{MgSO}_4 \cdot 7\text{H}_2\text{O}$,
 $\text{SrCl}_2 \cdot 6\text{H}_2\text{O}$, PbCO_3 (li, Htr)

Hioki Y., Mori S.

Natl. Tech. Rept., 1965, 11(1), 1-6

Determination of heat of ...

Be

CA., 1965, 63, N 10,
12469f

B 10⁴⁴ 2017

B

P

1965

B9P-3023-VCuSO₄CuO·CuSO₄t₁, t₂.

Thermodynamics of the thermal decomposition of cupric sulfate and cupric oxysulfate. T. R. Ingraham (Dept. Mines Tech. Surv., Ottawa, Can.). *Trans. AIME* 233(2), 359-63(1965) (Eng). The thermal decompn. of CuSO₄ and CuO.CuSO₄ was examd. by detg. the equil. gas pressure generated over each pure compd. The equil. data were used to calc. the thermodynamic properties of both compds., and the results were combined with previously published data to establish a predominance-vol. diagram for the Cu-S-O system over the normal range of roasting temp. and gas compn. used in the treatment of Cu minerals. CuO.CuSO₄ recrystallizes at 1100°K. with an apparently irreversible endothermic heat requirement of 2.9 ± 0.3 kcal./mole.
20 references.

Nat L. Shepard

C.A. 1965. 62. 11.

12510g

1965

CuSO₄CuOCuSO₄термоди
намика

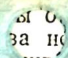
18 Б430. Термодинамика термического разложения сульфата и оксисульфата меди. Ingraham T. R.
Thermodynamics of the thermal decomposition of cupric sulfate and cupric oxysulfate. «Trans. Metallurg. Soc. AIME», 1965, 233, № 2, 359—363 (англ.)

Защищенным от коррозии ртутным манометром измерены давления образующегося при разложении газа ($\text{SO}_3 + \text{SO}_2 + \text{O}_2$) над CuSO₄ при 607—704° и над CuO.
CuSO₄ при 695—782°. Через константы диссоциации SO_3 рассчитаны парц. давления SO_3 , SO_2 и O_2 и термодинамич. функции. Для р-ции $\text{CuSO}_4 \rightarrow \text{CuO} + \text{SO}_3$: $\Delta F^0 = -47817 - 14,144 T + 3,15 \cdot 10^{-3} T^2 + 1,61 \cdot 10^5 / T - 10,1314 T \cdot \lg T$ или $\Delta F^0 = 50941 + 3,516 T \lg T - 54,90 T$ кал/моль, $\Delta F_{298}^0 = 36940$ кал/моль, $\Delta H_{298}^0 = 49920$ кал/моль, $\Delta S_{298}^0 = 43,5$ энтр.ед.; для р-ции $\text{CuO} \cdot \text{CuSO}_4 \rightarrow 2\text{CuO} + \text{SO}_3$: $\Delta F^0 = -46859 - 10,010 T + 3,15 \cdot 10^{-3} T^2 + 1,61 \cdot 10^5 / T - 10,1314 T \cdot \lg T$ или $\Delta F^0 = 49915 + 3,323 T \lg T - 50,12 T$ кал/моль, $\Delta F_{298}^0 = 35985$ кал/моль, $\Delta H_{298}^0 = 48960$ кал/моль, $\Delta S_{298}^0 = 43,5$ энтр. ед. На основе полученных и литературных

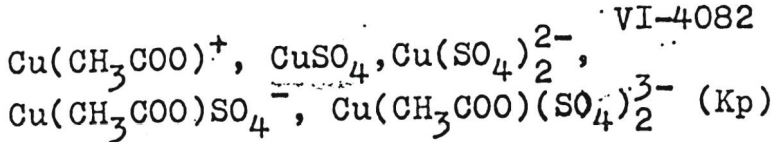
2.1965.18

данных рассчитаны константы равновесия р-ций в системе Cu—S—O с участием Cu_2O , CuO , Cu_2S , CuS , CuSO_4 и $\text{CuO} \cdot \text{CuSO}_4$. Построена объемная фазовая диаграмма $\lg p_{\text{SO}_2} - \lg p_{\text{O}_2} - 10^4/T$, из которой следует, что при $p_{\text{SO}_2} < 30 \text{ атм}$ невозможно прямое превращение Cu_2S в CuSO_4 , так как при $0,01 \text{ атм} < p_{\text{SO}_2} < 30 \text{ атм}$ поля этих фаз разделены полем Cu_2O , а при $p_{\text{SO}_2} < 0,01 \text{ атм}$ — полями Cu , Cu_2O , CuO и $\text{CuO} \cdot \text{CuSO}_4$. Оксисульфат при 1100° К необратимо переходит в другую кристаллич. фазу с поглощением теплоты $2,9 \pm 0,3 \text{ ккал/моль}$.

С. Никольский



1965



Tanaka Nobuyuki, Saito Yu, Ogino Hiroshir.

Bull. Chem. Soc., Japan, 1965, 38, N6, 984-88.

Formation constants of sulfato, acetato and
sulfatoacetato complexes of copper (II) at
ionic strength 1.0.

Est/orig.

RX., 1966, 3B72 Ja,

1965

CoSO_4 , CuSO_4 , NiSO_4 , ZnSO_4
(C_p , $\Delta S^{\circ}_{298,15}$, $\Delta G^{\circ}_{298,15}$)

V-3478

Off. 243M

Weller W.W.

U.S.Bur.Mines, Rept.Invest. No 6669(8),
1965, 6pp.

Low temperature heat capacities and
entropies at 298,15°K of anhydrous sulfates
of cobalt copper, nickel and zinc.

Be,

F

CA, 1965, 63, N11, 14147f

VI-4800

1966

CuSO₄

✓ 8 Б1117. Электропроводность растворов сульфата двухвалентной меди в воде при различных температурах. Kubota Eiji. The conductance of copper(II) sulfate in water at various temperatures. «J. Fac. Sci. Shinshu Univ.», 1966, 1, № 1, 31—37 (англ.)

Измерена эквивалентная электропроводность (λ) $(1,7344—27,206) \cdot 10^{-4} M$ воды. р-ров CuSO₄ в интервале т-р 5—45°. При расчетах λ учтены поправки на λ продуктов гидролиза иона Cu²⁺. Результаты анализировались на основе ур-ния Шидловского. Из полулогарифмич. зависимости коэффициент ионной диссоциации CuSO₄ K_a от $1/T$ вычислены значения $\Delta H = 1,89$ ккал·град⁻¹моль⁻¹, $\Delta G = -3,22$ энтр. ед., $\Delta S = 17,1$ кал·моль⁻¹ при 25°. Полученные результаты находятся в хорошем согласии с данными для ΔH и ΔS сульфатов кальция и магния. При 25° $\lambda = 132,9$, $K_a = 230$ л и $\lambda_0 \cdot \eta = 1,183$.

И. Новосельский

Константы диссоциации

Х 1968. 8

$\text{CuSO}_4 \cdot 5\text{H}_2\text{O}$

Bsp -4603-VI

1967

13 Б822. Теплоемкость, энтропия и магнитный момент монокристалла $\text{CuSO}_4 \cdot 5\text{H}_2\text{O}$ с полями до 90 кгс параллельно α магнитной оси. Anderson R. J., Giacque W. F. Heat capacity, entropy, and magnetic moment of single-crystal $\text{CuSO}_4 \cdot 5\text{H}_2\text{O}$ with fields to 90 kG to the α magnetic axis. «J. Chem. Phys.», 1967, 46, № 6, 2413—2428 (англ.)

Теплоемкость и магнитный момент $\text{CuSO}_4 \cdot 5\text{H}_2\text{O}$ измерены в интервале 0,4—4,2° К в стабилизированных магнитных полях 0, 5, 10, 20, 30, 50, 70 и 90 кгс. Поле было направлено вдоль α магнитной оси сферического монокристалла с диаметром 3,7 см. Чувствительный угольный термометр был использован для измерения изменения т-ры при наложении магнитного поля в калориметрич. аппаратуре при приблизительно постоянной энтропии. Очень не-

Cp

X. 1968. 13

VI-4254

большие поправки на изменение энтропии пустого калориметра и на потерю энтропии давали возможность точно табулировать изменения энтропии $\text{CuSO}_4 \cdot 5\text{H}_2\text{O}$ во всем эксперим. интервале. Магнитное насыщение принималось за нуль отсчета для электронной энтропии и общая электронная энтропия выше нуля была найдена равной $R\ln 2$, когда наблюдался заметный «хвост» выше 4°K . Эти данные дополнительно подтверждают предположение о том, что два типа ионов Cu^{2+} , имеющиеся в каждой элементарной ячейке, действуют как совершенно независимые магнитные системы. Даны значения магнитных моментов, которые соответствуют полному адиабатич. размагничиванию до нулевого поля. Значения для нескольких низкоэнтропийных адиабат лежат на прямой линии между 4 и 14 кгс. При экстраполяции эта линия пересекает ось M в точке, которая заметно выше половины от значения общего насыщения. Этот факт можно объяснить, если значение для ферромагнитных систем принять равным 2,101 и для антиферромагнитных — равным 2,051 при низких т-рах. В любом случае общее значение g равно 2,076. При более высоких полях и более низких т-рах необходимо принять во внимание небольшой вклад в энтропию, возникающий вследствие ядерной поляризации. Все измерения проведены на сферич. образцах и не содержат корректировки на эффекты размагничивания.

Резюме

$\text{CuSO}_4 \cdot 5\text{H}_2\text{O}$

Vl-4254 · Bq - 4603 - 17

1967

1 E458. Теплоемкость, энтропия и магнитный момент монокристалла $\text{CuSO}_4 \cdot 5\text{H}_2\text{O}$ в полях с индукцией до 90 кгс, параллельных магнитной а-оси. Anderson R. J., Giauque W. F. Heat capacity, entropy, and magnetic moment of single-crystal $\text{CuSO}_4 \cdot 5\text{H}_2\text{O}$ with fields to 90 kG to the α magnetic axis. «J. Chem. Phys.», 1967, 46, № 6, 2413—2428 (англ.)

(C_p)

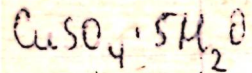
В интервале т-р 0,4—4,2° К проведены измерения магнитного момента, теплоемкости и энтропии монокристаллической сферы $\text{CuSO}_4 \cdot 5\text{H}_2\text{O}$ в стабилизированных полях 5, 10, 20, 30, 50, 70, 90 кгс, направленных вдоль магнитной а-оси. Измерения изменений температуры проводились с помощью чувствительного угольного термометра и регистрировались так же, как и изменения магнитного потока, с помощью цифрового ин-

9. 1968. 1

тегрирующего вольтметра. Была определена полная электронная энтропия, равная $R \ln 2$, причем в качестве нулевой точки было принято магн. насыщение. При этом в области миним. т-р и сильных полей учитывались изменения энтропии за счет ядерной поляризации. Полученные данные свидетельствуют о том, что ионы Cu^{2+} образуют две независимые магн. системы: ферромагнитную с g -фактором 2,101 и антиферромагнитную с g -фактором 2,051. Усредненное значение g -фактора 2,076.

П. Н. Стеценко

1967



11 Б723. Дифференциальный термический анализ в потоке газа — дегидратация $\text{CuSO}_4 \cdot 5\text{H}_2\text{O}$ и окисление UO_2 . Иси Тадао, Фурумай Такэдзи, Такэя Гэн. «Когё кагаку» дзасси, «Kogyo kagaku zasshi», J. Chem. Soc. Japan, Industr. Chem. Sec., 1967, 70, № 10, 1652—1656, A 105 (японск.; рез. англ.)

Метод ДТА в потоке газа (с подачей в ходе исследования газа через порошкообразные образцы) использован для исследования процессов дегидратации $\text{CuSO}_4 \cdot 5\text{H}_2\text{O}$ и окисления UO_2 . Влияние потока газа (в данном случае воздуха) на величину и форму пиков на кривых ДТА было изучено при расходе газа от 0 до 250 мл/мин. Рассчитана энергия активации и рассмотрено влияние

термич.
разложение

X. 1968. II

переноса массы на общую скорость процесса. Процесс полной дегидратации $\text{CuSO}_4 \cdot 5\text{H}_2\text{O}$ протекает через стадии образования $\text{CuSO}_4 \cdot 3\text{H}_2\text{O}$ и $\text{CuSO}_4 \cdot \text{H}_2\text{O}$. Все 3 эндо-термич. пика кривой ДТА сдвигаются в сторону пониженных т-р с ростом расхода газа. Т-ра пика, ссотз-щего р-ции $\text{CuSO}_4 \cdot 5\text{H}_2\text{O} \rightarrow \text{CuSO}_4 \cdot 3\text{H}_2\text{O} + 2\text{H}_2\text{O}$ снижается на 30° при расходе воздуха 35 мл/мин и на $40 - 50^\circ$ при переходе порошка в «псевдокипящее» состояние. Кривые ДТА окисления UO_2 обнаруживают 2 пика (переходы $\text{UO}_2 \rightarrow \text{U}_8\text{O}_7$ и $\text{U}_8\text{O}_7 \rightarrow \text{U}_3\text{O}_8$). Величина расхода газа сильно влияет на форму 2-го пика и слабо на форму 1-го. Рассчитанные величины энергии активации для 1-го и 2-го переходов равны соотв. 23,1 и 38,7 ккал/моль и хорошо согласуются с известными данными. Резюме

$\text{CuSO}_4 \text{ (c)}$

1987

JANAF Thermochemical
Tables, II rev., 1987

CuSO₄ · 5H₂O

1887

З Б669. Фазовые границы в системе CuSO₄—H₂O при давлениях до 40 килобар. Pistorius, Carl W. F. T.
Clark J. B. Phase boundaries in the system CuSO₄—H₂O to 40 kilobars. «Z. phys. Chem.» (BRD), 1967, 55, № 1-2, 79—86 (англ.)

Фазовые границы в системе CuSO₄—H₂O определены при давл. до 40 кбар с помощью ДТА (скорость нагрева 0,5—2 град/сек.). Исследование проведено в аппарате высокого давления типа поршень — цилиндр. Образцы CuSO₄·5H₂O (99,9%), а также CuSO₄·3H₂O и CuSO₄·H₂O, приготовленные дегидратацией пентагидрата, помещались в Си-капсулы; загрязнения образцов медью не зафиксировано даже после нескольких циклов дегидратация — регидратация. Кривая т-ры инконгруэнтного плавления CuSO₄·5H₂O ⇌ CuSO₄·3H₂O + p-p в зависимости от давления (P) выражается ур-ием $t = 95,88 + 7,158P - 0,207P^2 + 0,00173P^3$ и имеет широкий максимум при $\sim 25,5$ кбар и $\sim 173^\circ$, что связано с увеличением

Б92-4565-111

X. 1888. 3

плотности жидк. фазы, вследствие увеличения р-римости с повышением давления. Тройная точка р-р $\text{CuSO}_4 \cdot 5\text{H}_2\text{O}$ /лед. VI/лед. VII зафиксирована при 23,7 кбар и 64° (21,95 кбар, 82° для чистой воды). Т-ра плавления смеси лед. VI/насыщ. р-р CuSO_4 выражается в зависимости от давления ур-нием $t^\circ = 75,6 + 9,41P - 0,150P^2$; т. пл. смеси лед. VII/насыщ. р-р ур-ием Симона $P - 23,7 = 15,2 [(T/337)^{3,293} - 1]$, где T в °К. Кривая т-ры инконгруэнтного плавления $\text{CuSO}_4 \cdot 3\text{H}_2\text{O} \rightleftharpoons \text{CuSO}_4 \cdot \text{H}_2\text{O} +$ + р-р выражается ур-ием $t^\circ = 116,6 + 7,24P - 0,097P^2$; максимум кривой находится между 40 и 60 кбар. Тройная точка $\text{CuSO}_4 \cdot \text{H}_2\text{O}/\text{CuSO}_4$ I+р-р/ CuSO_4 II+р-р зафиксирована при 31,5 кбар и 507°. Кривая т-ры дегидратации $\text{CuSO}_4 \cdot \text{H}_2\text{O}$ выражается ур-ием $t^\circ = 313 + 9,74P - 152P^2 +$ + 0,00118 P^3 .

Л. В. Шведов

VI($\text{CuSO}_4 \cdot \text{H}_2\text{O}$, $\text{CuSO}_4 \cdot 5\text{H}_2\text{O}$,

VI-5745

$\text{Co}(\text{NO}_3)_2 \cdot 2\text{H}_2\text{O}$, $\text{Co}(\text{NO}_3)_2 \cdot 6\text{H}_2\text{O}$,

$\text{Cu}(\text{NO}_3)_2 \cdot 3\text{H}_2\text{O}$, $\text{VO}_2(\text{NO}_3)_2 \cdot 6\text{H}_2\text{O}$)

Rush J.J., Ferraro J.R., Walner A.

Inorgan. Chem., 1967, 6, N2, 346-51.

Neutron-scattering study of the motions of
water molecules in hydrated salts of
transition metals.

RX., 1968, 14/86

J

MgSO₄, CuSO₄ (Kp, SH, DS)

1568

VI 6270

Нижнодарье. Н. Н., Приморский р-н.

21.08.1968. Академик Курчатов Свд. омж. АН СССР.

Красноярск, 1968, Вып. 5, Издательство

Комплексного изучения природы и

членов 6 научно-исследовательских

институтов по биологическим наукам

1968 г. № 1260

Ред. Харов, 1968

17B 1260

□

Sy (P)

5

1968

CuSO₄ · 5H₂O

11 Б774. Магнитная термодинамика монокристалла CuSO₄ · 5 H₂O. II. Поля, параллельные магнитной α -оси. Термодинамические температуры и теплоемкости без введения тепла ниже 0,4° К. Калориметрические теплоемкости от 0,4 до 4,2 К в полях от 1 до 3 кгс. Giauque W. F., Fisher R. A., Ноггинг E. W., Brodale C. E. Magnetothermodynamics of single-crystal CuSO₄ · 5H₂O. II. Fields to the α -magnetic axis. Thermodynamic temperature and heat capacity without heat introduction below 0.4° K. Calorimetric heat capacity from 0.4° K—4.2° K with fields of 1 and 3 kG. «J. Chem. Phys.», 1968, 48, № 8, 3728—3734 (англ.)

Методом подвода тепла измерена теплоемкость сферы из монокристалла CuSO₄ · 5 H₂O, диаметром 3,7 см, в области 0,4—4,2° К в магнитных полях от 1 до 3 кгс,

x. 1969. 11.

БФ

параллельных магнитной α -оси. Эти данные дополняют ранее опубликованные измерения (сообщ. I РЖХим, 1968, 13Б822) в области полей 0—90 кгс. Получены 29 адиабат размагничивания, использованные для вычисления т-ры, теплоемкости и других магнитотермодинамич. свойств без введения тепла в области 0,021°—0,4° К. Расширенное исследование магнитной необратимости $\text{CuSO}_4 \cdot 5 \text{H}_2\text{O}$, о к-рой сообщено в указанной выше работе, показало, что методы обратимой термодинамики могут быть использованы, если энтропия не превышает 0,05 энтр. ед. и поля не уменьшаются до значений, меньших 1 кгс. Если энтропия равна $\sim 0,1$ энтр. ед. или больше, то поле следует уменьшать до нуля обратимым путем.

Резюме

1968

CuSO₄·5H₂O

Cp

11 E601. Магнетотермодинамика монокристаллов CuSO₄·5H₂O. II. Поля, параллельные а-магнитной оси. Термодинамическая температура и теплоемкость ниже 0,4° К, измеренная без введения тепла. Калориметрическая теплоемкость в интервале 0,4—4,2° К и в полях 1—3 кгс. Giauque W. F., Fisher R. A., Holnung E. W., Brodale G. E. Magnetothermodynamics of single-crystal CuSO₄·5H₂O. II. Fields II to the a-magnetic axis. Thermodynamic temperature and heat capacity without heat introduction below 0.4° K. Calorimetric heat capacity from 0.4° K—4.2° K with fields of 1 and 3 kG. «J. Chem. Phys.», 1968, 48, № 8, 3728—3734 (англ.).

см. вперед.

oo. 1968 · 118

На сферич. моноокристалле $\text{CuSO}_4 \cdot 5\text{H}_2\text{O}$ диаметром 3,7 см калориметрич. методом измерена теплоемкость C в интервале т-р 0,4—4,2°К в магн. поле 1—3 кгс, а измерения C при более низких т-рах (0,021—0,4°К) проведены методом адиабатич. размагничивания. Полученные данные использованы для расчета энталпии и энтропии. Измерен также магн. момент в поле, параллельном магн. оси a , напряженностью 994 и 3000 гс.
Ч. I см. РЖФиз, 1968, №458. Л. И. Бергер

Бр. 4803-И 1968

CuSO₄

7 Б1207. Электродные потенциалы и термодинамические функции ионов в водных растворах. Медь, цинк, кадмий, железо, кобальт и никель. Larson J. W., Cerruti P., Garber H. K., Heuer L. G. Electrode potentials and thermodynamic data for aqueous ions. Copper, zinc, cadmium, iron, cobalt, and nickel. «J. Phys. Chem.», 1968, 72, № 8, 2802—2907 (англ.)

ΔНаг

При 25° калориметрич. методом определены теплоты п-рения в воде CuSO₄, ZnSO₄, CdSO₄, гидратов этих соединений и гидратов FeSO₄. Вычислены значения ΔH_1^0 , S_2^0 , ΔG_1^0 для катионов. Из значений ΔG_1^0 получены стандартные потенциалы, которые сравнены с найденными электрохим. методами. Для системы Fe^0/Fe^{2+} стандартный потенциал E^0 равен 0,473 в.

Л. И. Богуславский

Х. 1969.

2



17

1968
BPP 4803-H

CuSO₄

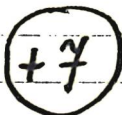
ZnSO₄

CdSO₄

FeSO₄

Allan

64069m Electrode potentials and thermodynamic data for aqueous ions. Copper, zinc, cadmium, iron, cobalt, and nickel. Larson, J. W.; Cerutti, P.; Garber, H. K.; Hepler, L. G. (Carnegie-Mellon Univ., Pittsburgh, Pa.). *J. Phys. Chem.* 1968, 72(8), 2902-7 (Eng). Heats of soln. of CuSO₄(c), Zn-SO₄(c), CdSO₄(c), hydrates of these compds., and hydrates of FeSO₄(c) have been measured. These data lead to ΔH_f° , S_2° , and ΔG_f° values for the M²⁺(aq.) ions. Standard potentials are



C.A. 1968. 69. 12



layers possess high hardness and consequently good wearability. Their max. thickness, is, however, only $0.3\text{--}0.5 \mu$ which renders the coatings rather discontinuous and partially porous because of simultaneous deposition of H. If Rh is electroplated on non-noble metals, such as Ni, corrosion-prone contact cells are created at the pores. From there, contact corrosion proceeds cathodically. This was established by measuring the corrosion c.s. for Ni and Rh. At low pH, corrosion was accelerated and was still observable at pH 9. The usual Rh deposits on Ni will not stand up to the severe service conditions of the food industry. The corrosion c.d. was detd. from the p.d. across a very small known resistance in a short-circuited Ni-Rh corrosion cell. 18 references.

Eugene E. Gansel

1968

CuSO₄ · H₂O, Ag₂SO₄, Ag₂SeO₄; PbZrO₃;
Ag₂CrO₄; SrCl₂ · H₂O; KNO₂, NaNO₃,
Na₂SO₄, Na₂CrO₄, NaClO₃, Li₂SO₄ · H₂O
(T_{tr})

Pistorius C.W., Rapoport E., Clark J.B.,
Z. phys. Chem. (BRD), 1968, 59, 200-205

T

$\text{CuSO}_4 \cdot 5\text{H}_2\text{O}$) stout J. W.

1968

racine coodgeeue
muyuplano no
ciarie:

S_{298} =
= 72,0
J.C.

Larson J. W. adp.,
J. Chem. Phys., 1968, 72,
N8, 2902 - 2907

(cp. 2905)

CuSO₄

ΔНаг

x · 1969

VI-5306

1968

2 Б726. Калориметрические измерения сульфатов металлов и их гидратов. Термодинамические электродные потенциалы для железа, меди, цинка и кадмия. Larson John W., Hepler Loren G. Calorimetric measurements on metal sulfates and their hydrates: thermodynamic electrode potentials for iron, copper, zinc, and cadmium. «Amer. Chem. Soc. Polymer Preprints», 1968, 9, № 1, 947—951 (англ.)

В калориметре (сосуд Дьюара) определены теплоты р-рения в воде при 25° сульфатов Cu, Zn, Cd, Fe и их кристаллогидратов. С использованием литературных данных рассчитаны ΔG° (обр.); составившие 15,9; —34,5; —18,1 и —21,8 ккал/моль для ионов Cu²⁺ (aq), Zn²⁺ (aq), Cd²⁺ (aq) и Fe²⁺ (aq), соотв. (погрешность 0,4 ккал). Отсюда для окислительных потенциалов E°



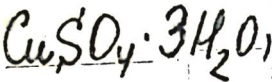
+ 4



$[M \text{ (крист.)} = M^{2+} \text{ (aq)} + 2e]$ получено —0,345; 0,750; 0,393 и 0,473 в для Cu, Zn, Cd и Fe. Согласие термич. потенциалов с хорошо известными электрохимич. для Cu, Zn и Cd очень хорошее. Поэтому в пределах 0,01 в можно считать достоверными значение для Fe и рассчитанные по литературным данным значения $E^{\circ}=0,287$ и 0,230 в для Co и Ni, соотв. Обсуждаются расхождения полученных результатов с имеющимися в литературе данными.

А. Гузей

1969



5 Б1225. Установление новой кристаллической формы тригидрата сульфата меди. Alvarez Alberto G., Andrieu Juan M., Castellano E. E. Determinación de existencia de una nueva forma cristalina en el resultado de cobre tri-hidratado. «An. Soc. cient. argent.», 1969, 187, № 3—4, 81—90 (исп.; рез. англ.)

Методами ДТА и рентгеновским исследована термич. дегидратация $\text{CuSO}_4 \cdot 5\text{H}_2\text{O}$. Установлено существование новой кристаллич. формы $\text{CuSO}_4 \cdot 3\text{H}_2\text{O}$, обозначенной как α . Переход формы α в обычную β -форму имеет место при $108,5^\circ$.

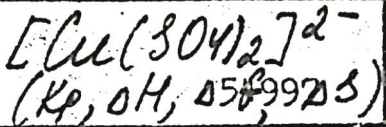
Резюме

 T_{tr}

X-1970.5

91013.3727

БР 6780-И



1969

Becker F., Grundmann R. Untersuchung
 der Thermodynamik der Ionenassoziation
 in den Systemen Cd^{2+} - SO_4^{2-} und Cu^{2+}
 $- \text{SO}_4^{2-}$ durch kontinuierliche thermomet-
 rische Titration. "Z. phys. Chem." (BRD),
 1969, 66, N 1-3, 137-149
 (нек.)

1154 1160

ВИНИТИ

VI-6732

1969

 $\text{CuSO}_4 \cdot \text{H}_2\text{O}$

6 Б907. Калориметрические измерения гидроалюмо-
 силикатов калия с помощью дифференциального скани-
 рующего калориметра. Hennig Otto, Strobel
Ulrich. Kalorimetrische Messungen an Kalziumalumi-
 natsulfathydraten mit dem Differential Scanning Calori-
 meter. «Wiss. Z. Hochschule Archit. und Bauwesen Wei-
 mag», 1969, 16, № 2, 173—176 (нем.)

Применяемый сканирующий дифференциальный кало-
 риметр фирмы Перкин-Элмер позволяет осуществлять
 нагрев пробы по программе в интервале от —100 до
 —500° при скорости нагрева 1—64 град/мин для образ-
 цов весом 0,1—40 мг (объемом до 0,03 см³). Определена
 энтальпия дегидратации для $\text{CuSO}_4 \cdot \text{H}_2\text{O}$, $\text{CaSO}_4 \cdot 2\text{H}_2\text{O}$,
 трикальцийалюмогидросульфата и трикальцийалюмо-
 носульфидата.

И. И. Лапидус

+2

X. 1970.

6

☒

CuSO₄.H₂O

ΔH_{aq}

25848g Calorimetric measurements of calcium aluminate sulfate hydrates by means of the differential scanning calorimeter. Henning, Otto; Stroebel, Ulrich (Ger.). *Wiss. Z. Hochsch. Architekt. Bauw.*, Weimar 1969, 16(2), 173-6 (Ger). The dehydration enthalpies (ΔH) of CuSO₄.H₂O (I), CaSO₄.2H₂O (II), tricalcium aluminate trisulfate hydrate (III), and tricalcium aluminate monosulfate hydrate (IV) were measured by using a differential scanning calorimeter method and the curves were shown in terms of ΔH vs. temp. ΔH for I was 17.6 kcal/mole and rose with increasing temp. ΔH for II was 28.3 kcal/mole at 25° and dropped with increasing temp. The flatness of the curve for II probably indicates that the H₂O content of II was only 98% of the original amt. and the resulting anhydrate still contained some H₂O. The H₂O content of III was 7-8 moles after the decomp. reaction. ΔH for III corresponded to its evapn. enthalpy. ΔH for IV was smaller than for III and far below its evapn. enthalpy. H₂O in IV is thought to be bound more weakly than in III. It was also assumed that the lower ΔH value for IV is due to the synchronous exothermic decomp. reaction and the formation of a new hydrate, 3CaO.Al₂O₃.6H₂O.

Young Hee Abramson

C.A. 1970

72.6

42

1969

32

33

17

69

17

CuSO₄ · n H₂O

VI-6639

1969

Electrocell

30c, ΔH

(64918d) Calorimeter-electrolytic cell for determining heats of electrochemical reactions. Khanaev, E. I. (Inst. Neorg. Khim., Novosibirsk, USSR). *Izv. Sib. Otd. Akad. Nauk SSSR, Ser. Khim. Nauk* 1969, (2), 21-4 (Russ). A calorimeter is described in which a reaction proceeds under the influence of elec. current. The device consists of 2 parts: a calorimeter for measuring the heat evolved during the reaction and a polarization part by means of which a measured amt. of elec. energy may be supplied into the electrolyzer. The calorimeter vessel is made of stainless steel and Teflon. The electrolyte is stirred by a stirrer and kept at a given temp. within $\pm 0.001^\circ$ by a thermostat. The enthalpy of the reaction was calcd. from the voltage between the electrodes, the heat evolved during the reaction, and the amt. of electricity, which was detd. from the amt. of metal deposited on a Cu cathode (the anode is made of

C.A. 1969. 41. 14

Pt). Only the heats of coulometric reactions could be measured because the voltage between the electrodes was stabilized by a U-1199 stabilizer. The enthalpy of the reaction $[(a + 1)\text{-CuSO}_4 + b \text{H}_2\text{SO}_4 + \text{H}_2\text{O}]_{p-pI} = \text{Cu(s)} + 1/2 \text{O}_2(\text{g}) + [a\text{-CuSO}_4 + (b + 1)\text{H}_2\text{SO}_4]_{p-pII} + \Delta H$ (in which $a = 4.006$ and $b = 5.098$ moles when the no. of H_2O moles is ~ 556) was 55.84 ± 0.12 kcal./mole, which corresponded with the literature value (-55.90 kcal./mole). The electrolyte compn. was $\text{CuSO}_4 \cdot 5\text{H}_2\text{O}$ 125 and H_2SO_4 50 g./l. and the c.d. was 0.01 amp/cm.²

Karel Seidl

Gibson (3 May)

6

26399

1969

Scarabaeidae.

High. Cret. Dung. Fly. Flav. Scarab.

Copy from. Römer 1969, (2), 27-4.

Flavoplatynus - Gasteroplatus -
Gasteroplatus (hololeuca) and Gastero-
platynus (hololeuca) and
Gasteroplatus (hololeuca).

May

5

6

CA, 1969, 21, 114, 613/8d

$\text{Cu}(\text{SO}_4) \cdot 5\text{H}_2\text{O}$ Мориц И.Б. 1969
Баренц А.Э.

§ 298

Tp. неиз. и неиз. Гео-
лог., №1, 12-13.

ΔG

(авт. Мурзин)

CuSO_4

Tzatt R.M. et al.

1969

J. Chem. Soc., A, 1969,

Kaq

N1, 47

$(\text{Cu. MgSO}_4)_I$

$\text{Cd}^{2+}\text{SO}_4^{2-}$; $\text{Ce}^{2+}\text{SO}_4^{2-}(\Delta H, \Delta S)$ 1969
6 VI 726

Z. Phys. Chem. (Frankfurt am Main) 1969, 66 (1-3), 134-49.

The thermodynamics of ion association in the ionic systems, $\text{Cd}^{2+}\text{SO}_4^{2-}$ and $\text{Ce}^{2+}\text{SO}_4^{2-}$ by continuous thermometric titration.

Fig. B (9)

6) page page 1969
6) page page 1969
6) page page 1969

CA 1970, 72, N2, 6453f

1870

 $\text{CuSO}_4 \cdot 5\text{H}_2\text{O}$

6 Б933. Магнетотермодинамика монокристалла
 $\text{CuSO}_4 \cdot 5\text{H}_2\text{O}$. V. Поля вдоль оси β . Термодинамическая температура без подвода тепла ниже $0,5^\circ\text{K}$. Эталонная точка при $0,035^\circ\text{K}$. Giauque W. F., Fisher R. A., Hogning E. W., Brodale G. E. Magnetothermodynamics of single crystal $\text{CuSO}_4 \cdot 5\text{H}_2\text{O}$. V. Fields along the β axis. Thermodynamic temperature without heat introduction below $0,5^\circ\text{K}$. A reference at $0,035^\circ\text{K}$. «J. Chem. Phys.», 1970, 53, № 9, 3733—3744 (англ.)

Исследованы магнитные и термодинамические характеристики монокристалла $\text{CuSO}_4 \cdot 5\text{H}_2\text{O}$ при т-рах до $0,02^\circ\text{K}$ в магнитных полях, параллельных магнитной оси β . Полученные значения теплоемкости, энтропии, энтальпии, намагничения и ряда др. величин табулированы и представлены графически. Сообщ. IV см. РЖХим, 1969, 15Б515.

Н. А. Попов

G

S°

ΔH

X-1871-6

Ce₂SO₄

Larson J.W.

1970

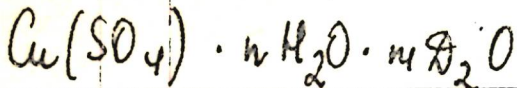
ΔH_{soln}

J. Phys. Chem., 1970,

ΔS°

74, 18, 3392.

(Ce₂Mo₂SO₄)I



1970

(25724e) Thermal properties of deuterated copper(II) sulfate pentahydrate. Oki, Hisaya; Kyuno, Eishin; Tsuchiya, Ryōkichi (Fac. Sci., Kanazawa Univ., Kanazawa, Japan). *Bull. Chem. Soc. Jap.* 1970, 43(10), 3263-4 (Eng). The dehydration of $\text{Cu}(\text{SO}_4) \cdot n\text{H}_2\text{O} \cdot m\text{D}_2\text{O}$ (I) ($n = 0-5$; $m = 5-n$) was studied by DTA, and the total wt. loss, dehydration temp., activation energy, and enthalpy change were detd. for each I. Apparently, H_2O tends to be liberated before D_2O . The x-ray powder patterns of I were all similar, but the splitting of the ir band assigned to the SO_4 asymmetric vibration was complicated for I ($n = 2$ or 3).

DYJN

CII. 1971. 24.6

CuSO₄ · nH₂O

1970

(134488f) Thermal properties of copper sulfate 5-hydrate.
Wendlandt, Wesley W. (Dep. Chem., Univ. Houston, Houston, Tex.). *Thermochimica Acta* 1970, 1(5), 419-27 (Eng). The dehydration of CuSO₄.5H₂O was studied by sealed and open-tube DTA, QDTA (quant. DTA), and by microreflectance and transmittance spectroscopy. By use of sealed-tube DTA, only 2 endothermic peaks were obsd. during the dehydration process; the 1st peak was due to the transition: CuSO₄.5H₂O(s) → CuSO₄.3H₂O(s) + 2H₂O(l) while the 2nd was probably the transition of the CuSO₄.3H₂O → CuSO₄.H₂O. From QDTA, the heat of reaction of the first peak was found to be 12.9 kcal/mole; for the 2nd peak a ΔH of 6.3 kcal/mole was found. The microreflectance and transmittance curves of single crystals of CuSO₄.5H₂O also showed the formation of the 3-hydrate at elevated temps.

RCBBV

C. H. 1970.7.3.28

CuSO₄

1971

Caiola A., Guy H., Söhn J.C.

(S
H-F)
Entropie 1971, 40, 24-34

Cu VF₃, I

CuSO_4
(Crystal)

100-1000°K

(1966)

JAKHF
Illegg

1577

Cu₅S₄ · 7H₂O

1971

17 Б553. Температурный переход семиводного сульфата меди. Purkayastha B. C., Das Nityaranjan.
Transition temperature of heptahydrated copper sulphate.
«J. Indian Chem. Soc.», 1971, 48, № 1, 70—74 (англ.)

T_m

X - 1971.18-

1972

CuSO₄

Gurovich, B. M. ?Gorelov et al.
Ref., Zh. Khim. 1973, Abstr. No. IBI26I.

Tl; Cp;

(cav. CaCl₂; T)

1972

CuSO₄

39885g Enthalpies and entropies above 298.15°K for copper sulfate and copper oxysulfate. Ferrante, Michael J. (Bur. Mines, Washington, D.C.). *U.S. Nat. Tech. Inform. Serv., PB Rep. 1972*, No. 206940, 14 pp. (Eng). Avail. NTIS. From *Gov. Rep. Announce. (U.S.)* 1972, 72(8), 97. Enthalpy and entropy increments above 298.15°K were detd. for CuSO₄ between 298 and 1,000°K and for Cu oxysulfate between 298 and 1,146°K by the method of Cu-block drop calorimetry. Enthalpies, entropies, and heat capacities are tabulated for both compds. Free-energy functions are tabulated for the sulfate. Equations representing the enthalpies are given for each compd.

H_T - H₀

S⁰

cp ; G⁰

C.A. 1972-77-6

11972

CuSO₄, Cu SO₄·H₂O, CuSO₄·5H₂O

Cp, 15-300 K

J.W. Stout

6 TT, N15, amp. 41

Cu SO_4

(76)

1978

Bardin Y., et al

298-1078

Model I, comp. 269.

1 Cu AgI

CuSO₄(K)

1973

King E.G., Mall A.D., Pankratz
Y.B.,

mesurog.
Cu-Ba Thermodynamic properties of
copper and its inorganic
compounds, 1973, 254 pp.

(на русском языке)

$\text{CuSO}_4 \cdot 5\text{H}_2\text{O}(k)$ 1973

$\text{CuSO}_4 \cdot \text{H}_2\text{O}(k)$ King E.G., Eliak A.D.,
 $\text{CuSO}_4 \cdot 5\text{H}_2\text{O}(k)$ Pankratz L.B.,

Thermodynamic properties
of copper and its inorganic
compounds, 1973, 257 pp.

изд-во.
СБ-Ба

(ко-новые схемы и методы)

CuSO_4

1973

Powell H. Kipton J.
J. Chem. Soc. Dalton Trans.,
1973, No. 19, 1947-1951.

Kc; ΔH;

(crys. MgSO_4 ; \bar{I})

Cu₂SO₄

1974

Ананасова Е.Н.

(Ag, NH₃,
S)

"III ежегодная конференция в
свяжующем растворе боратов"
Барнаул, 28.09.1974,
198-150

(Cu₂CdSO₄; I)

1974

 Cu_2SO_4

17 Б1038. Термодинамическая стабильность Cu_2SO_4 .
 Nagatogi M., Habashi F. Thermodynamic stability
 of Cu_2SO_4 . «Met. Trans.», 1974, 5, № 2, 523—524 (англ.)

Построена фазовая диаграмма для системы $\text{Cu}-\text{S}-\text{O}$.
 Вычислены константы равновесия р-ций между компонентами этой системы. Энталпия образования тв. Cu_2SO_4 составляет $-179,2 \pm 2,5$ ккал/моль, энтропия равна 43,6 э. е. Свободная энергия р-ции Cu_2O (тв.) + $+\text{SO}_3$ (газ.) = Cu_2SO_4 (тв.) определяется соотношением $\Delta G^\circ = -44\ 800 + 39,9 T$ кал/моль. Определена область стабильности Cu_2SO_4 и исследовано ее изменение с т-рой. Показано, что ниже 300° Cu_2SO_4 нестабилен, а для его существования при $\sim 400^\circ$ необходимо давление SO_2 более 1 атм.

А. И. Коломийцев

Х. 1974 № 17

1974

Cu_2SO_4

(S)

[74961n] Thermodynamic stability of copper(1) sulfate. Nagamori, M.; Habashi, F. (Mater. Sect., Cent. Rech. Ind., Quebec, Que.). *Met. Trans.*, 1974, 5(2), 523-4 (Eng). A new predominance diagram for the Cu-S-O system is presented, including the stability zone for Cu_2SO_4 . Since the entropy data are missing from the literature this was ealed. as $43.6 \text{ cal mole}^{-1} \text{ degree}^{-1}$. Also given is a plot of the variation of the Cu_2SO_4 stability zone vs. temp. The stability zone vanishes below 300° whereas an SO_2 pressure $> 1 \text{ atm.}$ is required for stability at 400° .

Nat L. Shepard

У 10 Б870. Магнетотермодинамика монокристалла
 $\text{CuSO}_4 \cdot 5\text{H}_2\text{O}$. VI. Свойства ниже 0,5 К при введении
тепла в постоянных полях до 33 кГс вдоль γ -оси. На-
чальная T^5 -зависимость энтропии и теплоемкости для
диполь-дипольного взаимодействия. Fisher R. A.,
Brodale G. E., Horning E. W., Giauque W. F.
Magnetothermodynamics of single crystal $\text{CuSO}_4 \cdot 5\text{H}_2\text{O}$.
VI. Properties below 0,5° K by heat introduction with con-
stant fields to 33 kG along the γ axis. The initial T^5 de-
pendence of entropy and heat capacity for dipole-dipole
magnetic interactions. «J. Chem. Phys.», 1975, 63, № 11,
4817—4830 (англ.)

СР, Ттгд

ом, 39

Х 1976 № 10

Термодинамические и магнитные св-ва $\text{CuSO}_4 \cdot 5\text{H}_2\text{O}$
(I) изучены в интервале 0,02—0,5 К в полях до
33 000 гс вдоль γ -оси. Калориметрич. опыты проводи-
лись при отсутствии поля, а также в полях 1000, 3000,
5000, 10 000, 20 000, 30 000 и 33 000 гс. Магнетотермо-
динамич. функции табулированы. Подтверждено выска-
занное ранее предположение, что магнитную структуру
I можно рассматривать как состоящую из двух относи-
тельно независимых магнитных систем. Установлено λ -
превращение при 0,027 К. Т-ная зависимость теплоем-
кости $C = 4,3 \cdot 10^7 \cdot T^5$ кал/моль·град. Сообщ. V см.
РЖХим, 1971, 6Б933.

Л. Резницкий

CuSO₄ XV-3701 1976

Adya Ashok K.; Baer
Marish C.

Indian J. Chem., 1976,
14A, N 12, 933-935.

$\text{CuO} \cdot \text{CuSO}_4$ ВР-ХVI-3671 1976

CuSO_4

13 Б779. Термодинамические исследования высокотемпературных равновесий. XV. Изучение стабильности сульфатов меди $\text{CuO} \cdot \text{CuSO}_4$ и CuSO_4 с помощью гальванической ячейки с твердым электролитом. Wittig Lennart. Thermodynamic studies of high temperature equilibria. XV. A solid state galvanic cell study of the stability of the copper sulfates, $\text{CuO} \cdot \text{CuSO}_4$ and CuSO_4 . «Chem. scr.», 1976, 10, № 1, 21—26 (англ.)

(K_p) Методом э. д. с. с тв. O^{2-} -ионным электролитом определены константы образования $\text{CuSO}_4 \cdot \text{CuO}$ (I) и CuSO_4 (II) в интервале т-р 840—1150° К. Измерялись э. д. с. двух гальванических ячеек с разделенным газовым электродным пространством, в к-рых электродом срав-

(+1)



Х. 1977. № 13

иения служил кислород воздуха, тв. электролитом ZrO_2 , стабилизированная CaO , а исследуемые электроды представляли равновесные смеси I (тв.), Cu_2O (тв.), SO_2 (газ), O_2 (газ) и II (тв.), I (тв.), SO_2 (газ), O_2 (газ). Исследуемые электроды находились в потоке SO_2 , скорость к-рого была подобрана так, чтобы обеспечить равновесие с O_2 . Т-ные зависимости констант равновесия р-ций $Cu_2O + SO_2 + O_2 \rightleftharpoons I$ и $I + SO_2 + 1/2O_2 \rightleftharpoons 2CuSO_4$ выражены ур-ниями $\lg K = -45,954 + 25481/T + 8,3881\lg T$ и $\lg K = -41,642 + 18233/T + 8,4215\lg T$. С использованием лит. данных вычислены константы р-ций образования I и II из элементов: $\lg KI = -55,512 + 53424/T + 8,9547\lg T$ и $\lg KII = -50,692 + 45312/T + 8,74791\lg T$. Результаты сравниены с лит. данными и обсуждена погрешность измерений. Сообщ. XIV см. РЖХим, 1977, 1Б827.

CuSO_4

Commenced 8246 | 1976

36 pyrac
fares

Sahoo P.K., et al

Thermococcus acetii

1979, 31, 303 - 314

1976

Zhdanov V.N., et al

CuSO₄·5H₂O

Deposited Dec. 1976,

49

VINITI 2874-76



(Cu₄Ca(NO₃)₂·4H₂O; I)

$\text{Cu}_2\text{SO}_4(\text{TB})$

1977

Bardin Y., et al

298-1000 mass II; cup. 224

• $(\text{cu} \text{ Ag})\bar{I}$

$\text{Cu SO}_4 \cdot \text{H}_2\text{O}$

1977

$\text{Cu SO}_4 \cdot 3\text{H}_2\text{O}$

Bairu Y., et al

$\text{Cu SO}_4 \cdot 5\text{H}_2\text{O}$

(Tb.)

max II, cup. 224-25.

298-600

• $1\text{cu Ag})_T$

$\text{CuSO}_4(\text{c})$

1977

Cox J.D.

J. Chem. Thermodyn. 1977,
9(8), 405-6 (Eng.)

$\Delta H^\circ; S^\circ;$
 $H_{298}-H_0^\circ$



$\text{Cu. } \text{SO}_4^{2-} \text{aq} - \text{J}$

CuSO₄

1977

Cox Y. D.

CODATA Bull. 1977, 22,
CPR (Eng).

DH₂; S⁰,
H-H



cell J-J

$\text{CuSO}_4 \cdot 5\text{H}_2\text{O} - \text{CuSO}_4 \cdot 3\text{H}_2\text{O}$

1977

87: 123567u Measurement of equilibrium pressure during multistep dehydration using saturated reference solutions.
Malinin, A. A.; Drakin, S. I.; Ankudinov, A. G. (Tambov, Inst. Khim. Mashinostr., Tambov, USSR), *Zh. Fiz. Khim.* 1977, 51(6), 1557+8 (Russ). The equil. pressure of H_2O over $\text{CuSO}_4 \cdot 5\text{H}_2\text{O}$, [7758-99-8] was 9.806 and 17.132 mbars at 24.06 and 31.47°, resp. The equil. pressure was detd. by isothermal distn. with satd. aq. solns. of $\text{MgCl}_2 \cdot 6\text{H}_2\text{O}$ and $\text{NaI} \cdot 2\text{H}_2\text{O}$ as ref. solns. Before the measurement, $\text{CuSO}_4 \cdot 5\text{H}_2\text{O}$ was partially dehydrated to form a 1:1 mixt. of hydrates $\text{CuSO}_4 \cdot 5\text{H}_2\text{O} - \text{CuSO}_4 \cdot 3\text{H}_2\text{O}$. From the dependence of equil. pressure on temp., the changes in the Gibbs free energy $\Delta G_{298^\circ} = 5.4$ Kcal, entropy $\Delta S_{298^\circ} = 72$ entropy units and enthalpy $\Delta H_{298^\circ} = 27$ Kcal were obtained for the equil. $\text{CuSO}_4 \cdot 5\text{H}_2\text{O} (\text{s}) \rightleftharpoons \text{CuSO}_4 \cdot 3\text{H}_2\text{O} (\text{s}) + 2\text{H}_2\text{O} (\text{g})$.

K. Dusek

ΔH_{298°
 ΔG_{298°

C. A. 1977 87 n16

CuSO₄

1977

9 Б1068. Влияние давления на диссоциацию ионных пар $MnSO_4$, $CuSO_4$ и $ZnSO_4$. Shimizu Kiyoshi, Tsuchihashi Noriaki, Kondo Yoshihito. Effect of pressure on dissociation of ion pairs. $MnSO_4$, $CuSO_4$ and $ZnSO_4$. «Rev. Phys. Chem. Jap.», 1977, 47, № 2, 80—89 (англ.)

При т-рах 15, 25 и 40° и давл. (P) от 1 атм до 1600 кг/см² измерены и табулированы электропроводности $(1—4) \cdot 10^{-4}$ М водн. р-ров $MnSO_4$, $CuSO_4$ и $ZnSO_4$. При 25° определены также плотности 0,01—0,1 М р-ров. По методу Робинсона-Стокса получены числа гидратации 11—12 для ионов указанных металлов и 4 для SO_4^{2-} -иона, к-рые не зависят от условий эксперимента. Рассчитаны константы диссоциации ионных пар (ИП) $M^{2+} \cdot SO_4^{2-}$ в бесконечно разб. р-ре, представленные для концентрац. шкал в М (K_c°) и мол. долях (K°). Значения K_c° увеличиваются с ростом P и уменьшением т-ры. По наклонам линейных зависимостей $lg K_c^\circ$ от $1/e$ (ε — диэлектрич. проницаемости р-рителя) оценены увеличивающиеся с т-рой расстоя-

Kp

Б

*2.1978
n9*

ния теснейшего сближения (а) ионов в ИП, к-рые сравниваются с величинами суммы крист. радиусов ионов. По аналогичным зависимостям $\ln K^{\circ}$ — P (при постоянной т-ре) определены изменения объемов (ΔV°) при диссоциации ИП для сульфатов Mn, Cu и Zn (25°), соотв. равные $-8,5$, $-8,1$ и $-6,0$ мл/моль. На основании этих величин и известных парц. мол. объемов свободных ионов M^{2+} и SO_4^{2-} в бесконечно разо. р-ре вычислены парц. мол. объемы ИП, $\bar{V}^{\circ}(M^{2+} \cdot SO_4^{2-})$, равные соотв. $4,8$; $0,0$ и $-2,0$ мл/моль при т-ре 25° . Проведено разделение величин $\bar{V}^{\circ}(M^{2+} \cdot SO_4^{2-})$ на внутр. и электрострикц. составляющие, к-рые рассчитаны также для сульфатов Ca, Co, Mg и Ni. На основе полученных результатов обсуждается структура ИП исследованных солей и делается заключение о том, что по склонности образования с SO_4^{2-} внешнесферных ИП двухвалентные металлы располагаются в ряд $Zn \simeq Co > Ni > Mg \simeq Cu > Ca > Mn$.

Л. В. Арсеников

$\text{CuSO}_4 \cdot \text{H}_2\text{O}$

1977

Shimizu Shoji et al.

(P)

J. Chim. Soc. Jap.,
Chem. and Ind. Chem." 1977,
N7, 953-958
(know; reg. anno)



(act. $\text{CaCl}_2 \cdot \text{H}_2\text{O} \cdot \text{I}$)

COMM WEC 75762 1948

CuSO₄·5H₂O 90: 62120f Heat of dissolution and absorption spectra of hydrated copper-, nickel-, and zinc sulfate crystals and their diluted solutions. Imai, Yoji; Ohsumi, Shigeharu; Kurachi, Mitsuo (Gov. Chem. Ind. Res. Inst., Tokyo, Japan). Nippon Kogyo Kaishi 1978, 94, 411-15 (Japan). Heats of soln. and visible and near-UV absorption spectra were detd. for aq. solns. of CuSO₄·5H₂O, NiSO₄·6H₂O, and ZnSO₄·7H₂O. The incremental heats of soln., at 30° are $\Delta H(\text{Cu}) = 0.182m + 2.68$; $\Delta H(\text{Ni}) = 0.220m + 2.08$; and $\Delta H(\text{Zn}) = 0.314m + 4.20$, where ΔH is in kcal/mol and m the molarity of dissolved ion. The integral heats of soln. are 2.98, 2.70, and 5.40 kcal/mol for Cu, Ni, and Zn, resp. The corresponding entropy values are 9.73 and 17.8 cal/mol deg for Cu and Zn, resp. Visible absorption spectra of the hydrated crystals are similar to those of their solns. Beer's law holds to 0.2-0.3 M and the mol. extinction coeffs. of satd. solns. are in the same order as those of crystals. In near-UV absorption spectra several peaks are obsd. in each soln. which have no correspondence to the spectra of crystals nor obey Beer's law. Change in concn. causes the longest wavelength peak in the near-UV region. I. Matsuzaki.

(4H soln)

t2

B

C.A. 1949 90118

CuSO₄ · 5H₂O

1978

17 Б1069. Спектрофотометрическое и термоаналитическое исследование дегидратации сульфата двухвалентной меди и его двойных солей. Nagase K., Yokobayashi H., Sone K. Spectrophotometric and thermal analytical studies on the dehydration of copper (II) sulfate and its double salts. «Thermochim. acta», 1978, 23, № 2, 283—291 (англ.)

Чересик.

*Дегидратация
двойных солей*

(+4)

Методами ДТА, ТГА, отражательной спектроскопии и дифрактометрии изучена дегидратация (Дг) $\text{CuSO}_4 \cdot 5\text{H}_2\text{O}$ (I), $\text{Na}_2\text{Cu}(\text{SO}_4)_2 \cdot 2\text{H}_2\text{O}$ (II), $\text{K}_2\text{Cu}(\text{SO}_4)_2 \cdot 6\text{H}_2\text{O}$ (III), $\text{Rb}_2\text{Cu}(\text{SO}_4)_2 \cdot 6\text{H}_2\text{O}$ (IV), $\text{Cs}_2\text{Cu}(\text{SO}_4)_2 \cdot 6\text{H}_2\text{O}$ (V), $(\text{NH}_4)_2\text{Cu}(\text{SO}_4)_2 \cdot 6\text{H}_2\text{O}$ (VI) и $\text{CO}_2\text{Cu}(\text{SO}_4)_3 \cdot 18\text{H}_2\text{O}$ (VII). Установлено, что Дг I происходит в три ступени с образованием трех-, одно- и безводн. солей. Приведены спектры отражения для каждого образца. II теряет одну молекулу воды при 115—149° и вторую при 149—205°, безводн. соль обнаруживает два эндотермич. пика при 499 и 525°, последний соответствует т. пл. безводн. соли. III дегидратируется в две стадии ($-4\text{H}_2\text{O}$ при 43—73° и $-2\text{H}_2\text{O}$ при 93—146°), безводн. соль обнаруживает два эндотермич. пика при 370 и 520°, послед-

2. 1978, № 14

ний соответствует т. пл. безводн. соли. IV теряет 4 молекулы воды при 56—73° и еще 2 молекулы при 117—166°. Безводн. соль плавится при 475°. V дегидратируется почти полностью при 46—82°, остаток воды (0,7 моля) удаляется при 116—230°. Безводн. соль обнаруживает два эндотермич. пика при 413 и 499°, последний относится к т. пл. безводн. соли. VI теряет 15 молекул воды при 32—76°, остальные 3 молекулы — при 200—300°. Установлено, что тъ. соли дегидратируются более легко, чем I. Подробно рассмотрена структура ионов и изменение координации и длин связей при дегидратации.

Л. Г. Титов

МПОИ
ви 0

1979

CuSO₄·nH₂O

1 B44. Термохимические измерения энергии расщепления в поле лигандов для ионов гексааквамеди(2+) и гексаамминмеди(2+). Badg i M., Jamieson J. W. Thermochemical measurement of the ligand field splitting energies for hexaaquocopper(II) and hexaamminecopper(II) ions. «Can. J. Chem.», 1979, 57, № 15, 1926—1931 (англ.; рез. франц.)

diff factor.

Перекристаллизацией $\underline{\text{CuSO}_4 \cdot n\text{H}_2\text{O}}$ (I) [$n=5$ (Ia)] из гор. абс. MeOH получен I [n=3 (Iб)]. Длительное нагревание Ia при 250° приводит к образованию I [n=0 (Iв)]. При перекристаллизации I из 99%-ной D₂O выделен CuSO₄·5D₂O (Iг). Взаимодействие Iб с Iг приводит к образованию CuSO₄·3H₂O·2D₂O (Iд). Описанным ранее методом синтезирован CuSO₄·5NH₃ (II). Измерены теплоты р-рения I, II. Показано, что при дегидратации Ia нагреванием в вакууме промежуточно образуется Iб, к-рый далее превращается в I [n=1 (Iе)]. Сняты ИК-спектры Iб, д и серии смешанных гидратов типа CuSO₄·nH₂O·mD₂O ($n+m \approx 3$, 2 и 1), полученных дегидратацией Iд в вакууме. На основании полученных термохим. данных рассчитаны величины спектроскопич. параметра 10Dq для I, II ($n=6$).

Б. В. Дунина

Х. 1980. N1

10/79

CuSO_4

$\text{Mg}(\text{NO}_3)_2$

$\text{Zn}(\text{NO}_3)_2$

91: 28249r Enthalpies of formation reactions in an aqueous solution of some metal acetylacetonates. Prik, G. A.; Kozer, B. E.; Tselyapina, T. A. (Ivanov. Khim.-Tekhnol. Inst., Ivanovo, USSR). *Zh. Fiz. Khim.*, 1979, 53(4), 872-5 (Russ). Heats of soln. of CuSO_4 , $\text{Mg}(\text{NO}_3)_2$, and $\text{Zn}(\text{NO}_3)_2$ in aq. acetylacetone (AA) were measured calorimetrically at 25° and ionic strength of 0.05. From these data, heats, entropies, and free energies of formation, equil. consts., and formation consts. were calcd. of M(AA)^+ and M(AA)_2 . A dependence was established of these thermodn. parameters from the metal position (at. no.) in the periodic system.

(H_{Soln} , HT , SF , SF)



© A. 1979, GLNY

$\text{CuSO}_4 \cdot 5\text{H}_2\text{O}$ Lommel 86141 1979

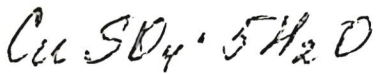
Cantor 5

(ΔH_m)

Thermochim. acta, 1979,

33, 69-86

1979



92: 117416f New thermal analysis methods. Jerman, Zdenek
(Vyzk. Ustav Anorg. Chem., Chemopetrol, 400 60 Usti nad
Labem, Czech.). Zb. Celostatnej Konf. Term. Anal., 8th 1979,
79-82 (Czech). Slov. Chem. Spoločnosť SAV: Bratislava, Czech.
A new arrangement for the measurement of heats of decomprn. of
solids during thermal anal. is proposed. Thermal anal. of
 $\text{CuSO}_4 \cdot 5\text{H}_2\text{O}$ is described.

J. Becvar

Diffagene

C. N. 1980. 92 n 14

1979

$\text{CuSO}_4 \cdot 5\text{H}_2\text{O}$

ЗБ713. Способ определения теплот химических реакций. Шамонов И. И., Кесслер Ю. М., Большая Н. К., Колодяжный В. З. «8-я Всес. конф. по калориметрии и хим. термодинам., Иваново, 1979. Тез. докл. I-НОР». Иваново, 1979, 208

Способы определения теплот хим. р-ций в ДТА по реперным в-вам довольно трудоемки и не всегда надежны, так как реперные в-ва должны иметь высокую степень чистоты. Перспективным является определение теплот р-ций посредством тепла, вводимого в эталонное в-во с помощью микронагревателя. Сравнение на термограмме площади термич. эффектов с площадью, образуемой теплом, вводимым в эталонное в-во, позволяет с большей точностью (1%) определить теплоты р-ций в процессе термич. разложения. Указанным способом определены и сопоставлены с лит. данными теплоты дегидратации пентагидрата сульфата меди.

Резюме

(д. Исаев.)

2.1980.13

CuSO₄ · nH₂O

1975

№ 22 Б893. Стадии дегидратации кристаллического CuSO₄ · 5H₂O. Nandi P. N., Deshpande D. A., Kher V. G. Dehydration steps in CuSO₄ · 5H₂O crystals. «Proc. Indian acad. Sci.», 1979, A88, № 2, Part 1, 113—124 (англ.)

Тезисы

С помощью измерений электропроводности (ЭП), диэлектрич. постоянной (ДП) при 10 кгц и ТГА изучена дегидратация (Дг) CuSO₄ · 5H₂O (I) в виде монокрист. и поликрист. образцов. Крист. I получали медленным выпариванием воды. ф-ров CuSO₄. Установлено, что при нагревании I Дг происходит в четыре стадии при 111, 124, 190 и 275° с отщеплением одной, одной, двух и одной молекул воды соотв. В форме таблеток Т дегидратируется по измененному механизму, при к-ром две первые стадии сливаются в одну (отщепляются 2,2 и 1 молекулы воды соотв.). Результаты измерений ЭП и ДП могут быть объяснены не только процессом ДГ, а также частичной диссоциацией образовавшихся молекул воды на ионы H⁺ и OH⁻. Л. Г. Титов

Х.1679.№22

1974

*СиSO₄**Li₂SO₄**K₂SO₄**(NH₄)₂SO₄*

ЗБ1459. Температурная зависимость теплоты растворения сульфатов в растворах серной кислоты. Васин С. К., Мельникова В. М. «8-я Всес. конф. по калориметрии и хим. термодинам., Иваново, 1979. Тез. докл. I-НОР». Иваново, 1979, 231

С повышением т-ры теплоты р-рения сульфатов титана, меди, лития, калия и аммония в серной к-те становятся более положит., в то время как с ростом т-ры тепловые эффекты р-рения хлоридов тех же элементов делаются более отриц. Зависимости для сульфатов металлов объяснены процессами ассоциации, обусловленными наличием общего аниона. По резюме

43 48



21080. N3

$\text{CuSO}_4 \cdot 5\text{H}_2\text{O}$

1979

Васин С. К. и др.

стаг Кинетика и механизмы
литератур. реакций, I., 1979,
94-100.

(авт. $(\text{NH}_4)_2\text{SO}_4$; -)

1980

CuSO₄

(aq)

10 Б1361. Применение модели ионной ассоциации [для расчета] парциальной молярной энталпии симметричного электролита. Bugy Raymond, Mayaffre Alain, Chemla Magius. Application du modèle d'association ionique à l'enthalpie molaire partielle des électrolytes symétriques. «С. г. Acad. sci.», 1980, C291, № 12, 259—262 (франц.; рез. англ.)

С учетом ионной ассоциации и потенциала взаимодействия свободных ионов получено ур-ние, описывающее зависимость парц. молярной энталпии симм. электролитов от их конц-ии. Калориметрически при 25° определены теплоты разбавления водн. р-ров сульфата меди. Показано, что результаты расчетов на основе предложенного ур-ния согласуются с экспериментом. По резюме

X. 1981.11.0

CuSO₄

1980

95: 31347j Effect of ionic association on partial molar enthalpies of symmetrical electrolytes. Bury, Raymond; Mayaffre, Alain; Chemla, Marius (Lab. Electrochim., Univ. Pierre-et-Marie-Curie, 75230 Paris, 05 Fr.). *C. R. Séances Acad. Sci., Ser. C* 1980, 291(12), 259-62 (Fr).

(Aug)

A theor. relationship is developed for the variation of partial molar enthalpy of sym. electrolytes as a function of concn. on the basis of classical thermodn. equations. Both neutral ion-pair formation and Debye-Hueckel interaction potentials for free ions are considered. The heat of diln. of CuSO₄ in water at 25° was detd. exptl. using a Calvet microcalorimeter and the results agree with the theory to a satisfactory approxn.

A. J. Miller

C.A. 1981. GS N 4

1981

*CuSO₄**NiSO₄**ZnSO₄**термич.**разложение*

(I)

(II)

x. 1981. N15

15 Б1223. Изотермическое разложение порошков сульфатов металлов в глубоком вакууме. Gimzewski Edmund, Wyatt Peter A. H. The isothermal decomposition of metal sulphate powders in high vacuum. «Theochim. acta», 1981, 44, № 2, 125—130 (англ.)

Методом изотермич. гравиметрич. анализа в сочетании с электронномикроскопич. и ИК-спектроскопич. анализами при т-рах 772—959 К и давл. $2 \cdot 10^{-5}$ мм изучено термич. разл. мелкокрист. CuSO₄ (I), NiSO₄ (II) и высокопористого порошкообразного ZnSO₄ (III). Показано, что при массе навесок 40 мг и диам. цилиндрич. тигля 7 мм термич. разл. I и II начинается на внешней

Пв слоя частиц и распространяется вдоль оси тигля. Образующиеся оксиды кристалличны. В случае III внешняя картина отличается лишь тем, что продукт разл., $ZnO \cdot 2ZnSO_4$, частично спекается, вызывая усадку слоя. Скорость термич. разл. I и II постоянна во времени; константы скорости описываются ур-ниями $\lg k_1(\text{мг/мин}) = 15,94 - 13,670/T$ и $\lg k_2(\text{мг/мин}) = 13,85 - 13,600/T$. Скорость разл. III выражена ур-нием $\omega = \sqrt{2k_3}\sqrt{t}$ (t — время), причем константа скорости $k_3(\text{мг}^2/\text{мин}) = 12,69 - 12,430/T$. Энталпия активации р-ций разл. I—III (соотв. 262, 260 и 238 кДж/моль) выше изменения энталпии при разл. (217, 248 и 225 кДж/моль). Кинетич. результаты интерпретированы на базе представлений Кнудсена и Клаузинга о диффузии в порах.

Э. Г. Раков

1981

$\text{CuSO}_4 \cdot 5\text{H}_2\text{O}$ 12 Б805. Стандартные энталпии образования бис(пентан-2,4-дионато)меди(2+) и тетракис[бис(пентан-2,4-дионато)кобальта(2+)]. Оценка энергий связи металл—кислород. Irving Roger J., Ribeiro da Silva Manuel A. V. Standard enthalpies of formation of bis(pentane-2,4-dionato)copper(II) and tetrakis[bis(pentane-2,4-dionato)cobalt(II)] and an estimation of the metal—oxygen bond energies. «J. Chem. Soc. Dalton Trans.», 1981, № 1, 99—102 (англ.)

В калориметре с изотермич. оболочкой LKB 8700 при 298 К измерены энталпии р-реции $\text{CuSO}_4 \cdot 5\text{H}_2\text{O}$, $\text{CoSO}_4 \cdot 6\text{H}_2\text{O}$, ацетилацетона (L), тв. CuL_2 (I) и $[\text{CoL}_2]_4$ (II) в 1 М р-ре H_2SO_4 . С использованием лит. данных вычислены станд. энталпии образования тв. I и II, равные $-181,8 \pm 0,5$ и $-826,6 \pm 2,2$ ккал/моль. Энталпии сублимации I и II в мономерный газ оценены в 25 ± 4 и 28 ± 4 ккал/моль. Вычислены энергии гомолитич. разрыва связи Cu—O и Co—O в молекулах газ. I и II, к-рые составили 38 ± 2 и 48 ± 2 ккал/моль. П. М. Чукуров

(+) □

2.1981.11/2

1981

CuSO_4
(важн. р-рн)

) 24 Б1841. Влияние давления на электропроводность растворов CuSO_4 в смесях этанол — вода. Shimizu K., Tsuchihashi N., Ikemoto K. Effect of pressure on electrolytic conductance of CuSO_4 in ethanol-water mixtures. «Досися дайгаку рикогаку кэню хококу, Sci. and Eng. Rev. Doshisha Univ.», 1981, 22, № 1, 7—12 (англ.)

При 25° измерена электропроводность водн. р-ров CuSO_4 (I) в интервале конц-ий $(1—4) \cdot 10^{-4}$ М, содержащих 5, 10, 15 и 20 мол.% этанола (II), при давл. (P) 1, 500, 1000 и 1500 атм. По ур-нию Шедловского вычислены и табулированы константы диссоциации I и значения электропроводности при бесконечном разбавлении (λ°). Найдено, что λ° уменьшается с повышением

X. 1981, 19, № 24.

содержания II для каждого значения P . В случае р-ров с содержанием II 5% λ° увеличиваются с повышением P и проходит через максимум по аналогии с р-рами I в чистой воде. Повышение P приводит к монотонному уменьшению значения λ° для р-ров, содержащих 10, 15 и 20% II. Анализ изменения λ° , отношения $(\lambda^{\circ}\eta)_{x_2}/(\lambda^{\circ}\eta)_0$ (X_2 — мол.% II, индекс 0 относится к р-рам I в воде; η — вязкость), константы диссоциации, изменений объема р-ренного в-ва в условиях эксперимента показывает, что в р-ре имеет место сольватация молекулами воды вследствие сильного ион-дипольного взаимодействия.

В. Г. Васильев

CuSO_4

1981

DINNECK 11386

(P_{SO_3})

194: 214768w Equilibrium pressures of sulfur oxides over copper(II) sulfate. Sultanov, M. Yu.; Ganieva, T. F. (Azerb. Inst. Nefti Khim., Baku, USSR). *Izv. Akad. Nauk SSSR, Neorg. Mater.* 1981, 17(4), 687-9 (Russ). The equil. pressures of SO_3 , SO_2 and $\text{SO}_2 + \text{SO}_3$ vapors above CuSO_4 were detd. for 450-800°. At 450-650°, only SO_3 was present and, at >650°, also SO_2 was present in the vapor phase in concns. related to the SO_3 decompn.

C.A. 1981. 94 N26

$\text{CuSO}_4 \cdot 5\text{H}_2\text{O}$

$\text{CuSO}_4 \cdot 5\text{D}_2\text{O}$

Литература

сеймик 10920

1981

12 Б808: Термическая стабильность и постадийные энталпии термической дегидратации $\text{CuSO}_4 \cdot 5\text{H}_2\text{O}$ и $\text{CuSO}_4 \cdot 5\text{D}_2\text{O}$. Tanaka Nagihiko. Thermal stabilities and enthalpy changes in the thermal dehydration stages of $\text{CuSO}_4 \cdot 5\text{H}_2\text{O}$ and $\text{CuSO}_4 \cdot 5\text{D}_2\text{O}$. «Thermochim. acta», 1981, 43, № 3, 289—295 (англ.)

Методом дифференциальной сканирующей калориметрии исследован изотопный эффект дейтерия в термич. стабильности и энталпиях трех стадий дегидратации пентагидратов $\text{CuSO}_4 \cdot 5\text{H}_2\text{O}$ (I) и $\text{CuSO}_4 \cdot 5\text{D}_2\text{O}$ (II). Процессы дегидратации проходят по схеме $0,5 \text{ CuSO}_4 \cdot 5\text{H}_2\text{O} \rightarrow 0,5 \text{ CuSO}_4 \cdot 3\text{H}_2\text{O} + \text{H}_2\text{O}$ (1), $0,5 \text{ CuSO}_4 \cdot 3\text{H}_2\text{O} \rightarrow 0,5 \text{ CuSO}_4 \cdot \text{H}_2\text{O} + \text{H}_2\text{O}$ (2), $\text{CuSO}_4 \cdot \text{H}_2\text{O} \rightarrow \text{CuSO}_4 + \text{H}_2\text{O}$ (3); суммарно $0,2 \text{ CuSO}_4 \cdot 5\text{H}_2\text{O} \rightarrow 0,2 \text{ CuSO}_4 + \text{H}_2\text{O}$ (4). Пикам кривых ДСК для стадий (1)—(3) в случае I отвечают т-ры $336,3 \pm 0,3$, $354,3 \pm 0,3$ и $484,2 \pm 0,4$, в случае II $338,0 \pm 0,4$, $352,9 \pm 0,3$ и $485,4 \pm 0,4$ К. Полученные для этих процессов т-ры, при к-рых базо-

2.1981.№2

вая линия ДСК пересекается с тангенсом максим. наклона «горба», составили соотв.: I $314,6 \pm 0,5$, $346,3 \pm 0,3$ и $460,1 \pm 0,4$; II $318,2 \pm 0,5$, $344,9 \pm 0,3$ и $452,5 \pm 0,6$ К. Несколько большая термич. стабильность тригидрата по сравнению с соотв.-щим дейтератом объяснена кинетич. факторами. Энтальпии дегидратации всех гидратов ниже, чем дейтератов. Они составили для процессов (1)---(4) соотв.: I $13,33 \pm 0,13$, $13,26 \pm 0,09$, $14,95 \pm 0,12$ и $13,63 \pm 0,08$ ккал/моль H_2O , II $13,89 \pm 0,07$, $13,54 \pm 0,07$, $15,14 \pm 0,12$ и $14,00 \pm 0,05$ ккал/моль D_2O . Результаты со-поставлены с лит. данными. Кратко обсуждена природа изученного изотопного эффекта. А. Б. Киселевский



$\text{CuSO}_4 \cdot n\text{H}_2\text{O}$

1982

1982: 133173d High-energy modification hydrates of copper(II) sulfate: heats of solution and infrared spectrum. Badri, M.; Crouse, K. A. (Dep. Chem., Univ. Pertanian Malaysia, Serdang, Malay.). *Pertanika* 1982, 5(2), 229-33 (Eng). The heats of soln. of $\text{CuSO}_4 \cdot n\text{H}_2\text{O}$ were detd. calorimetrically as functions of the H_2O content (8.46-36.08%; less than the amt in the monohydrate to ~5 H_2O content). The IR spectra of $\text{CuSO}_4 \cdot x\text{H}_2\text{O} \cdot y\text{D}_2\text{O}$ ($x + y < 1$) are given in support of the prepn. mechanism proposed.

SH John.

C.A. 1983, 98, N16.

1982

CuSO₄ (P-P)

17 Б1277. Термодинамические свойства сульфата меди в смесях диоксана с водой по данным об электродвижущих силах. Blokhin Ratan L., Kohli Sudarshan. Thermodynamic properties of copper sulphate in dioxan+water mixtures from electromotive-force measurements. «J. Chem. Soc. Faraday Trans.», 1982, Part 1, 78, № 4, 1071—1077 (англ.)

При 288, 298, 308 и 318 К определена и табулирована э. д. с. гальванич. цепи Cu—Hg|CuSO₄ (I), диоксан (II) — вода|Hg₂SO₄|Hg. Содержание II в воде составляло 10, 20, 30 или 40%. Конц-ю I варыровали от 0,001 до 0,1 Мл. По этим данным вычислены и табулированы станд. потенциалы, средние ионные коэф. активности I, а также термодинамич. функции переноса I из воды в смешанный р-ритель (CP). Для всех CP термодинамич. функции переноса положительны. С применением ур-ния Борна определен вклад электростатич. взаимодействий в термодинамич. функции. Установлено, что вклад электростатич. взаимодействий в энталпию и энтропию отрицателен, тогда как вклад хим. взаимодействий положителен.

В. В. Сергиевский

7.9 C., актив

ности в

аллес

диоксан+вода

X, 1982, 19, N/4.

$\text{CuSO}_4 \cdot \text{H}_2\text{O}$

DeKock C.W.

1982

$\text{CuSO}_4 \cdot n\text{H}_2\text{O}$

U.S. Dept. Interior,
Bur. Mines Informa-
tion Circular, IC 8910
 $A_f H, A_f G,$
1982, 45pp.

$C_p, S,$
 $H - H,$
 $\partial f;$ Thermochemical Proper-
ties of Selected Transi-
tion Metal Sulfates
and Their Hydrates.

(в коробке Beer. Mires
у Бернса)

CuSO₄ · 5H₂O

1982

) 23 Б3155. Изотермическое термогравиметрическое исследование пентагидрата сульфата меди. Isothermal thermogravimetric study of copper sulfate pentahydrate. Deshpande D. A., Deshpande N. D., Kher V. G. «Therm. Anal. Proc. 7th Int. Conf., Ontario, 1982. Vol. 1.» Chichester c. a., 1982, 785—791 (англ.)

С помощью изотермич. ТГА изучена дегидратация (Дг) CuSO₄ (I) · 5H₂O при т-рах 60, 70, 80, 100, 110, 120, 130, 240, 250 и 260° С. Подтверждено, что Дг CuSO₄ (I) · 5H₂O происходит в 4 стадии с отщеплением 1,1,2 и 1 молей воды при 110, 130, 190 и 275° С с энергиями активации 0,033; 0,034; 0,039 и 0,047 эВ соотв. Значения энергии активации отдельных стадий Дг, полученные из динамич. исследований, удовлетворительно согласуются с данными, полученными из статич. экспериментов.

Л. Г. Титов

X. 1984, 19, N23

$\text{CuSO}_4 \cdot 5\text{H}_2\text{O}$

DM. 39279

1982

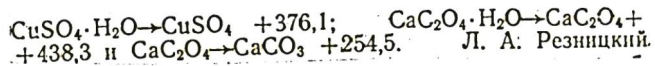
6 Б899. Конструирование и применение калориметрических термовесов. Kishi Akira, Saito Kiyo-shi, Ichihashi Masahiko. «Нэцу сокутэй, Netsu sokutei, Calorimetry and Therm. Anal.», 1982, 9, № 3, 89—95 (яп.; рез. англ.)

Разработан метод ДТГА для изучения процессов фазовых переходов тв. в-в, в том числе кристаллогидратов вплоть до 1170 К. В основе метода лежит сочетание приемов работы с теплопроводящим калориметром и термовесами. Изучена дегидратация $\text{CuSO}_4 \cdot 5\text{H}_2\text{O}$ и $\text{MgSO}_4 \cdot 7\text{H}_2\text{O}$. Калориметрич. стандартом являлись Al_2O_3 и SiO_2 , калибровка тепловых эффектов проведена по ΔH (пл.) Zn , KNO_3 и ΔH (пр.) SiO_2 . Определены ΔH (Дж/г) последовательной дегидратации $\text{MgSO}_4 \cdot 7\text{H}_2\text{O} \rightarrow \text{MgSO}_4 \cdot 5\text{H}_2\text{O} + 392,5$; $\text{MgSO}_4 \cdot 5\text{H}_2\text{O} \rightarrow \text{MgSO}_4 \cdot 3\text{H}_2\text{O} + 499,9$; $\text{MgSO}_4 \cdot 3\text{H}_2\text{O} \rightarrow \text{MgSO}_4 \cdot 2\text{H}_2\text{O} + 264,0$; $\text{MgSO}_4 \cdot 2\text{H}_2\text{O} \rightarrow \text{MgSO}_4 \cdot \text{H}_2\text{O} + 249,5$; $\text{MgSO}_4 \cdot \text{H}_2\text{O} \rightarrow \text{MgSO}_4 + 433,6$; $\text{CuSO}_4 \cdot 5\text{H}_2\text{O} \rightarrow \text{CuSO}_4 \cdot 4\text{H}_2\text{O} + 180,9$; $\text{CuSO}_4 \cdot 4\text{H}_2\text{O} \rightarrow \text{CuSO}_4 \cdot 3\text{H}_2\text{O} + 192,5$; $\text{CuSO}_4 \cdot 3\text{H}_2\text{O} \rightarrow \text{CuSO}_4 \cdot 2\text{H}_2\text{O} + 268,5$; $\text{CuSO}_4 \cdot 2\text{H}_2\text{O} \rightarrow \text{CuSO}_4 \cdot \text{H}_2\text{O} + 294,7$;

ΔH

(H) K

X. 1983, 19, N 6



CuSO_4

1982

Dekock Carroll W.

$\text{Cp}^\circ, \text{S}^\circ, \text{H}^\circ = \text{H}_{298}^\circ$, Inf. Circ.-U.S., Bur.
- $\Delta_f H$, $\Delta_f G$, Mines 1982, IC8910,
 $\Delta_f G$, $\log K_p$. 48 pp.

($\text{Cu}_x \text{VO}_3 \text{O}_4$; I)

Cu_2SO_4 1982
 $\text{CuO} \cdot \text{CuSO}_4$ Dekock Carroll W.
 $\text{Cp}^\circ, \text{S}^\circ, \text{H}^\circ = \text{H}_298$, Inf. Circ.-U.S. Bur.
- Go-H, $\Delta_f H$,
 $\Delta_f G$, $\log K_p$. Mines 1982, IC8910,
48 pp.

CuSO₄

1983

17 Б896. Вклад в термическое поведение сульфатов.
О химическом транспорте CuSO₄, Cu₂OSO₄ и CuO. Zum
chemischen Transport von CuSO₄, Cu₂OSO₄ und CuO.
Bald L., Spiess M., Gruhn R., Kohlmann Th.
«Z. anorg. und allg. Chem.», 1983, 498, № 3, 153—160
(нем.; рез. англ.)

Порошок безводн. CuSO₄ (I) м. б. получен нагреванием CuSO₄·5H₂O на воздухе или в Аг. Таким же путем можно получить порошок Cu₂OSO₄ (II). Однако до наст. времени трудно получить кристаллы I и нет методики синтеза кристаллов II. Изучение хим. транспортных р-ций безводн. сульфатов тяжелых металлов показывает возможность получения сформированных кристаллов I и II осаждением из паровой фазы. В кач-ве транспортирующих агентов для I особенно подходят Cl₂ и HgCl₂. Менее пригодны HCl, NH₄Cl и J₂. Хим. осаждение пара II проведено с HgCl₂. Дополнительно установлено, что подходящими транспортирующими агентами для CuO являются Cl₂, HgCl₂ или J₂ (NH₄Cl менее пригоден). Обсужден транспорт и табулированы «скорости сублимации» ZnSO₄ и CoSO₄ в сравнении с I.

X.1983; 19;
N/7

А. С. Гузей

$\text{CuSO}_4 \cdot 5\text{H}_2\text{O}$

1983

23 Б488. Кристаллическая структура халькантита
 $\text{CuSO}_4 \cdot 5\text{H}_2\text{O}$, полученного в условиях микрогравитации.
Исхакова Л. Д., Трунов В. К., Щеголева Т. М.,
Илюхин В. В., Ведерников А. А. «Кристалло-
графия», 1983, 28, № 4, 651—657

Изучена крист. структура $\text{CuSO}_4 \cdot 5\text{H}_2\text{O}$, полученного
в условиях микрогравитации (съемка при т-рах
 $21(1)^\circ\text{C}$ и $-167(2)^\circ\text{C}$ λ Mo, МНК в анизотропно-изо-
тропном (атомы Н) приближении до R 0,021 и 0,031
для 21°C и -167°C соотв.). Проведен сравнительный
анализ основных кристаллохим. характеристик структу-
ры при двух т-рах. В результате исследования под-
тверждено отсутствие изменений в крист. строении
халькантита при росте кристаллов в условиях невесо-
ности.

Резюме

кристал-
структур

X. 1983, 19, № 23

CuSO₄

1983

9 Б3049. Исследование равновесий при восстановлении сульфатов меди водородом. An equilibrium study of the hydrogen reduction of copper sulfates. Jasinto N., Sinha S. N., Nagatogi M., Sohn H. Y. «Met. Trans.», 1983, V 14, № 1—4, 136—139 (англ.)

На основе термодинамич. данных о теплотах и свободных энергиях образования в-в в системе Cu—S—O рассчитаны парц. давл. возможных газ. продуктов восстановления CuSO₄ (I) водородом при 633 К. Показано, что основными газ. фазами (99,9999%) являются SO₂ и H₂O, тогда как др. фазами можно пренебречь. Оценена возможность образования тв. фаз при восстановлении I водородом: Cu₂S, Cu₂SO₄ (II), Cu₂O (III) и CuO·CuSO₄ (IV). С помощью рентгенографии определены продукты эксперим. восстановления I водородом. При т-рах ниже 373 К основной фазой, помимо I, является II, кол-во к-рой возрастает с ростом т-ры до 643 К, а затем падает к 773 К. В интервале 473—773 К

kp,

X. 1985, 19, N 9.

образуется нек-рое кол-во металлич. меди. III образует-
ся в интервале 673—923 К. IV — только при 923 К.

Л. Г. Титов

лича
рече

$\text{CuSO}_4 \cdot 5\text{H}_2\text{O}$

1983

Tagawa Hiroaki.

Демікесі каратаку оёбү көрө
бүгүншүрү каратаку, Демікесі
каратаки 1983, №1, №1,
223 - 224.

($\text{Cu} \cdot \text{MnSO}_4 \cdot 5\text{H}_2\text{O}; \text{I}$)

CuSO₄ · 5H₂O

1984

1 Б3104. Термическое поведение оксидов меди и сульфата меди в присутствии углерода. Thermal behaviour of copper oxides and copper sulphate in the presence of carbon. Вагбоготи М. М. «Solar Energy Mater.», 1984, 10, № 1, 35—40 (англ.)

Методами РФА, ТГА и ДТА (дериватограф МОМ, навески 200 мг, скорость нагрева 10° С/мин или на воздухе, или в потоке Ar) в диапазоне т-р 300—900° С исследовано термич. поведение смесей CuO (20 вес. %) — C и CuSO₄ · 5H₂O (20 вес. % в пересчете на CuO) — C, полученных растиранием порошков в агатовой ступке в течение 15 мин. Окисление C начинает идти при 450 и достигает максим. скорости при 540° С. При 555—695° С CuO восстанавливается до Cu₂O, и затем при 695—758° С на воздухе до чистого металла (в Ar эти диапазоны 580—700 и 700—785° С соотв.). В системе CuSO₄ · 5H₂O восстановление идет сразу в одну ступень до Cu₂O при 568 (воздух) и при 552° С (Ar). Дальнейшее восстановление до металла идет при 648—710 (воздух) и 665—780° С (Ar).

В. А. Ступников

Нр

X, 1985, 19, N 1.

$\text{CuSO}_4 \text{ (aq)}$

1984

Макаров Ю. А.,
Козыревская Н. С. и др.

Kp, Af H, Переходные. свой-
ства ряда купор. Иба-
Af G; Иоко, 1984, 100 - 103.

(см. $\text{ZnSO}_4 \text{ (aq)}$, ?)

Он. 21672

1984

CuSO₄ (aq) Кр

Коломенки Г. Р., Гаськова О. И.

Количественное изучение
Kp. количества, имеющейся и имеющейся
в водных растворах с геогра-
фическими изменениями
состава империальных данных
СО АН СССР (Институт гео-
логии и геохимии, Ново-

Симферополь, 1984, №ер. 1514014,
N 7157-84.

$\text{CuSO}_4 \cdot 5\text{H}_2\text{O}$

1984

Tagawa Hiroaki.

Kp, AG, Thermochem. acta,
S.M. 1984, 80, n1, 23-33.

(Cer. $\text{BeSO}_4 \cdot 4\text{H}_2\text{O}$; I)

$\text{CuSO}_4 \cdot 5\text{H}_2\text{O}(k)$

1984

21 Б3246. Изучение растворимости $\text{CuSO}_4 \cdot 5\text{H}_2\text{O}$ в воде при высоких давлениях методом электродвижущих сил. Якушенко А. Н., Чурагулов Б. Р. «Ж. физ. химии», 1984, 58, № 6, 1563—1564

Методом э. д. с. определена р-римость в воде кристаллогидрата $\text{CuSO}_4 \cdot 5\text{H}_2\text{O}$ при 298, 323, 348 К и давл. 1000 МПа. С увеличением конц-ии насыщ. р-ра (m_{2s} , моль/кг воды) по мере повышения т-ры происходит существенное изменение барич. зависимости р-римости: при 298 К на изотерме $m_{2s}—P$ имеется максимум при 550 МПа ($m_{2s}=20,6$ мас.%), при 323 К m_{2s} первоначально слабо убывает с давл., а затем, так же, как и при 348 К, скорость уменьшения р-римости с давл. заметно возрастает. В целом, повышение давл. до 1000 МПа изменяет конц-ию насыщ. р-ра: от 1,43 до 1,56 (298 К), 2,10 до 1,73 (323 К), от 3,18 до 2,04 Мл (348 К).

Автореферат

Кр, раствори-
чество.

X. 1984, 19; № 21

$\text{CuSO}_4 \cdot \text{H}_2\text{O}$

1984

Джумагеко А.Н.,

фото.
автореф. дис. на соиск.
преподав.
учен. степ. канд. хим.
наук. М., 1984, 18с.

CuSO_4 (aq) Dн. № 20 820, 24663 1984

10 Б3233. Константа диссоциации сульфата меди в водных растворах из данных измерения э. д. с. Dissociation constant of copper sulphate in aqueous solution from e.m.f. data. Prasad S. N., Ghosh J. C. «Indian J. Chem.», 1984, A23, № 5, 409—410 (англ.)

В интервале т-р 278,15—308,15 К из данных по измерению э. д. с. в водн. р-рах с ионной силой 0,05 ($\text{CuSO}_4 + \text{H}_2\text{SO}_4$) определена константа равновесия р-ции CuSO_4 (водн.) $\rightleftharpoons \text{Cu}^{2+}$ (водн.) + SO_4^{2-} (водн.). Установлено, что значение pK изменяется от 2,87 при 278,15 К до 3,05 при 308,15 К (при 298,15 К $pK=3,00$). Табулированы термодинамич. параметры (ΔG , ΔH , ΔS) процесса диссоциации CuSO_4 . А. С. Соловкин

K_p , D2H;

18.1985, 19, N10

CuSO_4

1984

101: 98658x Dissociation constant of copper sulfate in aqueous solution from emf data. Prasad, S. N.; Ghosh, J. C. (Dep. Chem., Patna Univ., Patna, 800 005 India). *Indian J. Chem., Sect. A* 1984, 23A(5), 409-10 (Eng). The pK's of CuSO_4 in aq. soln. detd. at 278.15, 288.15, 298.15 and 308.15 K are 2.87, 2.84, 3.00, and 3.05 resp. while ΔG° 's at these temps. are 15.3, 16.2, 17.1 and 18.0 kJ/mol, resp. ΔS And ΔH over the temp. range have const. values of -89 J/mol-K and -9.6 kJ/mol, resp.

sf, ss, dh;

c.A.1984, 101, n12

$\text{CuSO}_4 \cdot 5\text{H}_2\text{O}$

1984

reaks w/
c H_3PO_4

| 102: 68245p Physicochemical studies of the interaction of copper, zinc, and cobalt sulfates with double superphosphate components. Usmanov, I. I.; Tukhtaev, S.; Adylova, M. R. (Inst. Khim., Tashkent, USSR). *Uzb. Khim. Zh.* 1984, (5), 16-19 (Russ). The thermodn. values of the reactions of $\text{CuSO}_4 \cdot 5\text{H}_2\text{O}$, $\text{ZnSO}_4 \cdot 7\text{H}_2\text{O}$, and $\text{CoSO}_4 \cdot 7\text{H}_2\text{O}$ with H_3PO_4 and $\text{Ca}(\text{H}_2\text{PO}_4)_2$ were detd. at 298 and 353 K. Measurements of viscosity, d., elec. cond., and pH-titrn. techniques were used. The mechanisms of the reactions were established.

(unpublished)

(+2) \otimes



C. A. 1985, 120, N 8

CuO₄S (k)

1985

(Cu₈₀Y₂)

JANAF

T-P.

Aug. 1985 exp 985

н.реч. 1966

CuSO₄

1985

102: 155795m Effect of ionic strength and supporting electrolytes on the stability of complexes in solution. II. Stability of the copper sulfate ion-pair and complex anion Fe(Tiron)- in various supporting electrolytes. Liu, Qitao; Yang, Ming (Dep. Chem., Liaoning Univ., Shenyang, Peop. Rep. China). *Huaxue Xuebao* 1985, 43(2), 126-33 (Ch). The stability of CuSO₄ ion-pair and Fe(Tiron)- complex anion in soln. contg. various supporting electrolytes with ionic strength ranging from 0.2 to 4.2 was detd. spectrophotometrically. The variation of stability with ionic strength (I) is basically identical for the 2 complex systems in every supporting electrolyte, but the set of min. point of stability is very different. The stability data indicates that the Debye-Hueckel equation with only one parameter is applicable to $I < 2.0$ in terms of CuSO₄ system, but nonapplicable at the complex anion Fe(Tiron)-. The thermodn. stability consts. log K_0 of CuSO₄ and Fe(Tiron)- are 2.17 and 19.50 at 25° resp.

(log K₀)

C. A. 1985, 102, N 18.

ЛиСДы

[Он. 25237]

1985

(Ионка
БР-ре)

Романенко Г.Н., Чаккаев
А.И. и др.,

Теоретика, 1985, №4,

534-539.

(расен)

CuSO₄ · 5H₂O

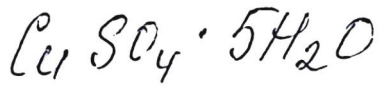
1986

10 Б3015. Статистический анализ результатов определений энталпии процесса разложения CuSO₄ · 5H₂O.
Statistical analysis of enthalpy determination results relating to the dehydration process of CuSO₄ · 5H₂O.
Arkhangelsky I. V., Savitskaya I. A., Rodionova V. P. «J. Therm. Anal.», 1986, 31, № 5, 1101—1108
(англ., рез. нем., рус.)

С использованием ДСК ДСМ-2 измерены энталпии ($\Delta_r H$) процессов ступенчатой дегидратации пентатри- и моногидрата сульфата меди(2+). Были использованы порошкообразные свежеприготовленные и состаренные образцы гидратов. Опыты проведены в статич. и динамич. атмосфере при различных давл. паров воды, различных скоростях нагревания и массах образцов. Табулированы эксперим. величины $\Delta_r H$ процессов дегидратации и проведен статистич. анализ результатов измерений. Показано, что анализ погрешностей служит методологич. основой для выбора оптим. условий исследования ступенчатой дегидратации методом ДСК.

П. М. Чукуров

X. 1987, 19, N 10.



1986

Brammer A. J.,

Charsley E. L., et al.

Journ. Calorim., Anal.

Therm. Thermodyn. Chim.

1986, 17, 429 - 32.

(cu.  Air; I)

Сургутенский р-н

1986

Saito Yasutoshi, Ma-
zuyama Toshio, et al.

Pgecc,
Aguec.

Can. Metall. Q.
1986, 25(1), 57-7.

(ал. Сургутенский Ni; I)

$CdSO_4 \text{ (к)}$

1987

Чурагулов Б. Р.
Монистикова С. А. узгр

Всес. 4-и. ученир по шахт.
Кр, раєнко - 4 велесентвайи Тоссіан-
тарма СССР. №., 1987.
19c., 41. Кеденшор. 23
назв. Рые. (Рукопись
gen. б) ВЧНЦ ИТЦ 15.05.87
N 337-кк 87). (ас. $CdSO_4 \text{ (к)}$)

$\text{CuSO}_4 \cdot 5\text{H}_2\text{O}$

1987

108: 157272m Thermal analysis of copper sulfate and diethyl
quanidine hydrochloride hydrates by differential scanning
calorimetry. Motorova, T. N.; Vlasov, O. N.; Nikolaeva, N.
(Vses. Nauchno-Issled. Khim. Sredstv Zashch. Rast., Moscow,
USSR). Zh. Fiz. Khim. 1987, 61(12), 3841-3 (Russ). A differential
scanning calorimeter was used to measure the thermal effects of
dehydration of $\text{CuSO}_4 \cdot 5\text{H}_2\text{O}$ and of diethylguanidine hydrochloride
dihydrate step-wise values are given. The fusion temp. and heat of
anhyd. diethylguanidine hydrochloride dihydrate were also detd.

$T_m, \Delta H_{fus}$ -
mugram

c.A. 1988, 108, N 18

$\text{CuSO}_4 \cdot 6\text{H}_2\text{O}$

1987

9 Б3060. Термический анализ гидратов сульфата меди и солянокислого диэтилгуанидина методом дифференциальной сканирующей калориметрии. Моторова Т. Н., Власов О. Н., Николаева Н. В. «Ж. физ. химии», 1987, 61, № 12, 3341—3343

На приборе ДСК-2 с использованием герметичных ячеек определены тепловые эффекты дегидратации истинного гидрата сульфата меди и тв. р-ра внедрения гидрата солянокислого диэтилгуанидина. Показано, что поведение истинных гидратов и тв. р-ров внедрения резко отличается по тепловым эффектам. По резюме

$T_{разл.}$,
 $\Delta H_{разл.}$.

X. 1988, 19, № 9

$\text{CuSO}_4 \cdot 5\text{H}_2\text{O}$

1987

5 Е3170. Термическая дегидратация пентагидрата двухвалентной [сернокислой] меди. Sato R., Kondo I. «Мэйсэй дайгаку кэнкю киё. Рикогакубу, Res. Bull. Meisei Univ. Phys. Sci. and Eng.», 1987, № 22, 23—27 (яп.; рез. англ.)

Методом ТГ показано, что дегидратация кристаллов $\text{CuSO}_4 \cdot 5\text{H}_2\text{O}$ (I) идет по схеме: I \rightarrow $\text{CuSO}_4 \cdot 3\text{H}_2\text{O} \rightarrow$ $\text{CuSO}_4 \cdot \text{H}_2\text{O}$ (II) \rightarrow CuSO₄ (III). Однако изменения условий получения I (возможно, на стадии рекристаллизации) могут обусловить иную схему: I \rightarrow II \rightarrow III.

Резюме

дегидратация

X. 1988, 19, N 5.

Cu₂SO₄

1988

11 Б2029. Кристаллическая структура Cu₂SO₄. Первая структура оксо-соли одновалентной меди. The crystal structure of copper(I)sulfate Cu₂SO₄. The first structure of a simple cuprous oxo-salt / Berthold H. J., Born J., Wartchow R. // Z. Kristallogr.— 1988.— 183, № 1—4.— С. 309—318.— Англ.

Проведен РСТА Cu₂SO₄ (I, МНК, $R = 0,063$, 21 отражение), полученного по р-ции взаимодействия Cu₂O + + (CH₃)₂SO₄ → I + (CH₃)₂O при 160° С в Ar-атмосфере в течение 10 мин.; при увеличении времени протекания р-ции наблюдалось диспропорционирование I. I ромбич.: $a = 474,8$, $b = 1396$, $c = 1086$ нм, $Z = 8$, ф. гр. *Fddd*. В структуре I атомы O из различных SO₄-тетраэдров связаны друг с другом атомами Cu; в цепочках O—Cu—O расстояния Cu—O 196 пм. Слои состава Cu₂SO₄ лежат в плоскости параллельной (010), их укладка происходит в направлении оси Y. Слоистая структура I классифицирована как промежуточная между 3-мерной каркасной структурой Ag₂SO₄ (СТ тенардита с более ионным типом связи) и молек. структурой крист. H₂SO₄.

Г. Д. Илюшин

*Кристал.
Структура*

X. 1989, N 11

CuSO_4

1988

Kf
I 10: 122542p Determination of thermodynamic simultaneous equilibria. Linzbach, G.; Kreysa, G. (Dechema-Inst., D-6000 Frankfurt/Main, 97 Fed. Rep. Ger.). *Software-Entwickl. Chem.* 2, *Proc. Workshops "Comput. Chem."*, 2nd 1987 (Pub. 1988), 381-94 (Ger). Edited by Gasteiger, Johann. Springer: Berlin, Fed. Rep. Ger. A computer program, DOROTHEA, for detg. simultaneous thermodn. equil. in redox systems with dissoen. and complexation is described. Several examples of its application are given. The formation of CuSO_4 and H_2SO_4 in SO_2 oxidn. with H_2O on a Cu catalyst and automobile exhaust gas redox catalysis are described.

C.A. 1989, 110, N/4

$\text{CuSO}_4 \text{ (aq)}$

1988

Sanyal S. K.,

Mukherjee Ashis K.,

Gp. Can. J. Chem. 1988, 66(3),
435-8.

Refined
method

(cell. NaCl(aq) ; I)

CuSO₄·5H₂O

1989

15 Б3097. Изучение дегидратации CuSO₄·5H₂O с помощью обычной и новейшей аппаратуры для термического анализа. Dehydration of CuSO₄·5H₂O studied by conventional and advanced thermal analysis techniques / El-Houte S., El-Sayed Ali M., Toft Sørensen O. // Thermochim. acta.— 1989.— 138, № 1.— С. 107—114.— Англ.

диссертация

Методами ДТА, ТГА, а также синхронного изотермич. анализа (СИА) (аппаратура DTG-30, Shimadzu, Япония и контролируемый компьютером анализатор ТГА, Дания) изучена дегидратация (Дг) CuSO₄·5H₂O (I). Установлено, что в динамич. условиях Дг I протекает в три стадии: при 65, 90 и 220°С с отщеплением 2, 2 и 1 молекулы воды соотв. Однако методом СИА (с лучшим разрешением) показано, что I разлагается в 5 стадий: потеря 1 моля воды при 58 и 65°С соотв., 1,5 моля — при 75°С, 0,5 моля — при 85°С и 1 моля — при 215°С.

Л. Г. Титов
—

X. 1989, N 15

CuSO₄ · 5H₂O

1989

113: 85777n Gas evolution as an artefact in differential scanning calorimetry. Hallbrucker, A.; Mayer, E. (Inst. Anorg. Anal. Chem., Univ. Innsbruck, A-6020 Innsbruck, Austria). *J. Therm. Anal.* 1989, 35(5), 1733-6 (Eng). With CuSO₄·5H₂O as test system, it is demonstrated that the evolution of a gaseous product with thermal cond. much lower than that of the purge gas in differential scanning calorimetry, leads to artifacts in the form of intense exotherms. This is due to a redn. of the heat flow from the sample to the environment.

MICROR.
(page 1, DCK)

C.A. 1990, 113, N&10

CuSO₄ · 5H₂O

1989

24 В75. Определение температуры разложения твердых тел акустоэмиссионным методом / Сакиев С. Н., Холов А., Гуламова Ф. // Ж. физ. химии.— 1989.— 63, № 5.— С. 1391—1393.— Рус.

Применен метод акустич. эмиссии (АЭ) для определения т-ры начала процесса дегидратации в пентагидрате меди CuSO₄ · 5H₂O. Показано, что процесс дегидратации начинается при меньшей т-ре (46—48° С), чем дает метод дериватографии (70—72° С). Это объяснено тем, что задолго до ощутимой потери массы в локальных обл. кристалла происходит процесс термич. разрушения с образованием различных дефектов, в том числе и микротрещин. Методом АЭ зарегистрированы акустич. волны, выделяющиеся при образовании этих дефектов. Установлено, что т-ра, при к-рой возникает выделение сигналов АЭ, является начальной т-рой дегидратации пентагидрата меди.

Резюме

Процесс дегидратации

X. 1989, N 24

CuSO₄

Синтаксиса C.A., Мори-¹⁹⁸⁹
кот. К.П.,

(Kc)

Расчет краевого устройства
смк комплекса CuSO₄ в
сульфатных P-Pax при
перегревах 50 - 200° no
склона по  Монгольской
горной.

VI Всесоюзный конгресс - Выставка.

Приглашаем на выставку
и выставку и изысканий,
предлагаемую - художников -
как победителей.

Зима. - 5 декабря 1989 г.

(Музей изобразительных), зал II, сцена 67

$\text{CuSO}_4 \cdot \text{NH}_2\text{O}$ (6M 34592) 1990

Flóra T.,

Acta Chem. Hung.

(SA) 1990, 127, N^o 2, 185-203

CuSO₄

1990

23 Б3181. Физико-химические свойства растворов $\text{CuSO}_4 + \text{H}_2\text{SO}_4$. Средние ионные коэффициенты активности CuSO_4 . Physico-chemical properties of the $\text{CuSO}_4 + \text{H}_2\text{SO}_4$ solutions mean ionic activity coefficient of CuSO_4 . / Hotlos J., Jakula M. // J. Heyrovsky Centennial Congr. Polarogr. organ. jointly 41st Meet. Int. Soc. Electrochem., Prague, Aug. 20—25, 1990: Proc. 2. Aug. 22—24. — [Praha], 1990.— C. Fr.— 116.— Англ.

При т-ре 60° С из данных по измерению э. д. с. ячейки $\text{Cu}(\text{Hg}/\text{CuSO}_4 + \text{H}_2\text{SO}_4 + \text{H}_2\text{O}/\text{Hg}_2\text{SO}_4/\text{Hg}$ определены средн. ионные коэф. активности (γ_{\pm}) CuSO_4 , в водн. р-рах CuSO_4 (0,2—1,1 М) + H_2SO_4 (0,1—2,5 М). Значения γ_{\pm} получены в предположении, что как соль, так и к-та полностью диссоциированы в водн. р-рах в изученном интервале конц-ий. Предложено эмпирич. ур-ние типа ур-ния Дебая-Хюкеля—Брэнстеда, описывающее зависимость γ_{\pm} от ионной силы раствора. А. С. С.



X. 1990, N 23

CuSO₄

1991

115: 288476y Thermodynamic studies of copper(II) sulfate in aqueous mannitol from electromotive force measurements. Blokhra, Ratan L.; Sharma, Anil K. (Dep. Chem., Himachal Pradesh Univ., Shimla, 171005 India). *Bull. Chem. Soc. Jpn.* 1991, 64(10), 370-4 (Eng). Emf. of the cell Cu-Hg/CuSO₄(m)/Hg₂SO₄(s)/Hg were made at 288, 298, 308, and 318 K for mannitol compn. X = 5, 15, and 25% (wt./wt.) in water. The std. emf. values of the cell at different temps. and at different compn. of mannitol + water mixts. were detd. by an extrapolation method. These have been utilized to evaluate the mean activity coeff. of copper(II) sulfate. The std. free energy for the cell reaction, and the primary medium effects upon CuSO₄ were evaluated. The std. thermodn. quantities for the process of transfer of CuSO₄ from water to the mannitol soln. were calcd. from the values of the std. potential. The transfer parameters were split into the electrostatic and chem. contributions and the results are explained in the light of ion-solvent interactions and structural contributions to solvents.

C.A. 1991, 115, N 26.

Литература

1991

18 Б3134. Электрические свойства растворов CuSO_4 в смесях вода—метанол. Electrical properties of CuSO_4 in water methanol mixtures / Werblan I., Balkowska A., Lesinski J., Szymanski G., Dobrogowska C., Jastrzebska J. // Bull. Pul. Acad. Sci. Chem.— 1991.— 39, № 1.— С. 73—83.— Англ.

При 25°C измерена мсл. электропроводность (λ) р-ров $\text{CuSO}_4 [(0,03790—52,95) \cdot 10^{-3} \text{ M}]$ в смесях вода—метанол (I), содержащих 10, 20 и 30% I. Концентрац. зависимости λ обработаны с помощью ур-ния Фуосса—Онзагера. Табулированы значения степени диссоциации соли (α) в изученных смесях и показано, что α быстро уменьшается с ростом [I]. Измерена э. д. с. ячейки $\text{Cu}/\text{Cu}^{2+}, \text{SO}_4^{2-}, \text{H}_2\text{O—I}/\text{Hg}_2\text{SO}_4, \text{Hg}$ в интервале [I] 5—40%. Табулированы термодинамич. параметры ($\Delta G, \Delta H, \Delta S$) для р-ции $\text{Cu} + \text{Hg}_2\text{SO}_4 \rightleftharpoons \text{Cu}^{2+} + 2\text{Hg}^0 + \text{SO}_4^{2-}$. Отмечено, что данные по электропроводности р-ров и э. д. с. могут быть использованы для расчета средн. ионных коэф. активности CuSO_4 в смесях $\text{H}_2\text{O—I}$.

А. С. Соловкин

1991, № 18

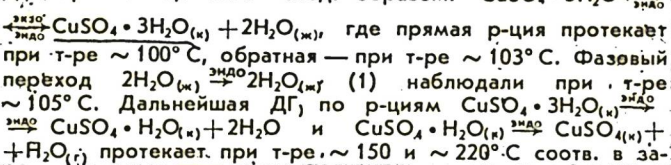
$\text{CuSO}_4 \cdot 5\text{H}_2\text{O}$

1992

$\text{CuSO}_4 \cdot 3\text{H}_2\text{O}$

5 Б3047. Некоторые замечания о термогравиметрии высокого разрешения. Предостережение. Some observations on high resolution thermogravimetry. A warning /Arthur J. K., Redfern J. P. //J. Therm. Anal. —1992.—38, № 7.—С. 1645, 1651.—Англ. ;рез. нем.

На примере изучения процесса дегидратации (ДГ) $\text{CuSO}_4 \cdot 5\text{H}_2\text{O}$ показаны достоинства и недостатки ТГ с использованием чередования изотермич. режима и нагрева с постоянной скоростью. Сделан вывод о протекании ДГ при $P=0,1$ MPa след. образом:



(kp)

X.1993, №5

висимости от условий ДГ. Использование ТГ при повышенном давл. позволило определить ДГ. Использование ТГ при повышенном давл. позволило определить условия фазового превращения (1). В случае применения закрытого позолоченного медного тигля наблюдали двухступенчатое удаление H_2O при ДГ $\text{CuSO}_4 \cdot 5\text{H}_2\text{O}$, с получением $\text{CuSO}_4 \cdot 3\text{H}_2\text{O}$.

Ю. В. Соколова

$\text{CuSO}_4 \text{ (aq)}$

1992

Evsicheva L. V.,

Zatysheva V. A. et al.

(ρ_p) Vestn. St.-Peterb. univ., Ser.
4: Fiz., Khim. 1992, (2), 40-4,
110-11.

(cu. $\text{CuCl}_2 \text{ (aq)}$; $\bar{\tau}$)

$\text{CuSO}_4 \cdot 5\text{H}_2\text{O}$

1992

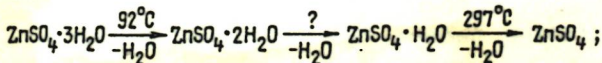
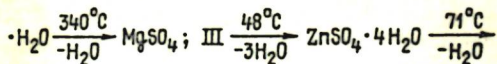
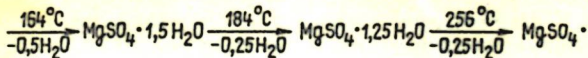
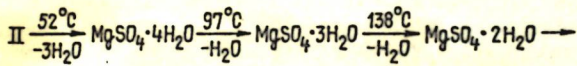
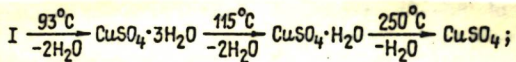
11 Б3019. Исследование гидратов и аквакомплексов.
Дифференциальный термический анализ (ДТА). Untersuchung von hydraten und Aquakomplexen-Differenzthermoanalyse (DTA) /Habekost A. //Prax. Naturwiss. Chem. .—1992.—41, № 8.—С. 37—41.—Нем.

Обсуждаются возможности и области применения ДТА; особое внимание уделено применению ДТА для изучения комплексных соединений (определение состава, термич. устойчивости, структуры и др.). Обсуждено термич. поведение $\text{CuSO}_4 \cdot 5\text{H}_2\text{O}$ (I), $\text{MgSO}_4 \cdot 7\text{H}_2\text{O}$ (II), $\text{ZnSO}_4 \cdot 7\text{H}_2\text{O}$ (III), $\text{NiSO}_4 \cdot 7\text{H}_2\text{O}$ (IV) и $[\text{Co}(\text{H}_2\text{O})_6]\text{Cl}_2$ (V). Показано, что I—V разлагаются по схемам:

(4) 17



Х. 1994, N 11



IV обнаруживает ступенчатую дегидратацию при 130 ($-6\text{H}_2\text{O}$), 270 и 330°C ; **V** — при 35°C превращается в окрашенный непрозрачный раствор.

Б. Г. Коршунов

Pt SO₄(aq.)

1993

Apelblat A.,

P, BrH) J. Chem. Thermodyn. 1993,
25 (12), 1513-20.

(all. th(aq); I,

1995

F: CuSO₄(aq)

P: 1

9Б3121. Средние [ионные] термодинамические коэффициенты активности CuSO₄[4] в концентрированных растворах CuSO₄[4]-H[2]SO₄[4]. Mean thermodynamic activity coefficient of CuSO₄[4] in the concentrated CuSO₄-H₂SO₄ solutions / Jaskula M. // 35th IUPAC Congr., Istanbul, 14-19 Aug., 1995: Abstr. II. Sec. 4-6. - [Istanbul], 19]. С. 1392. - Англ.

При 60 °C определены э. д. с. гальванической цепи Cu(Hg)|CuSO₄, H₂SO₄[4]|Hg₂SO₄[4],Hg в широком диапазоне изменения конц-ии компонентов. По этим данным вычислены значения 'гамма'['+-'] для CuSO₄[4]. Коэффициент активности.

X.1996, №9

1998

F: CuSO₄

P: 1

131:264191 CuSO₄ by XPS. Vasquez, R. P. Jet
Propulsion Laboratory, California Institute of
Technology Pasadena, CA 91109-8099, USA Surf.
Sci Spectra, 5(4), 279-284 (English) 1998 X-ray
photoemission measurements of CuSO₄ are presented.

2000

F: CuSO₄.5H₂O

P: 1

132:142718 Study on the dehydration of some hydrated salts. Feng, Hai-Yan Lin, Xiao-Di; Ge, Yan-Rui; Wu, Ke-Zhong; Zhang, Jian-Jun Dep. Chem., Hebe Normal Univ.

Shijiazhuang 050016, Peop. Rep. China

Wuji Huaxue Xuebao, 16(1), 89-96 (Chinese) 2000

Various possible types of dehydration of the hydrated salts (Na₂SO₄.10H₂O CuSO₄.5H₂O, Na₂S₂O₃.5H₂O)

C.A.2000, 132

have been studied by means of DTA/thermogravime DSC. The exptl. results showed that there are two different types of dehydration for the studied salts. In the one case the hydrated salt los water vapor directly, while in the other case it loses liq. water first a this water is transformed into vapor. These cases are discussed in terms thermodn.

иисоу,
А.Д. Силин
(cp.; 10-350K) *Bissengalgiva M.R.*, 2007
Бектазганов Н.С., Агелмисиф А.Е,
Гогол Д.В.

"Calculation of vibrational and
thermodynamic properties of
copper natural compounds in the
row of sulfates and chlorides"

16-ынгыз Конкетеге тохумчук. Төркөстанда
б. Қоқан, Өзбекистан, ● 1-бүрнө, 2-бүрнө

Abstracts: V. I, p 1/5-12.

(+1)

Bissinger